# VIII. Zur Kenntnis des Faserverlaufs im Gehirn von Orycteropus.

Von

Th. Ziehen

Mit 11 Figuren im Text.

# Zur Kenntnis des Faserverlaufs im Gehirn von Orycteropus.

Von

Th. Ziehen

Mit II Figuren im Text.

Die beiden Gehirne von Orycteropus afer (Pallas), welche Herr Prof. L. Schultze mir freundlichst zur Verfügung gestellt hat, sind von mir vorzugsweise zu mikroskopischen Untersuchungen verwandt worden, da die makroskopische Anatomie des Gehirns des Orycteropus schon ziemlich genau bekannt ist. Leider war das eine der beiden Gehirne erheblich verstümmelt, so daß es nur zur Nachprüfung einiger spezieller Punkte verwendet werden konnte.

### a) Bemerkungen zur makroskopischen Anatomie des Orycteropusgehirns.

Die ältere Literatur [POUCHET 1), GERVAIS 2)] enthält nur Beschreibungen und Abbildungen fötaler Orycteropus-Gehirne und einiger Schädelabgüsse. Eine sehr ausführliche, von zahlreichen Abbildungen begleitete Beschreibung des erwachsenen Orycteropus-Gehirns hat G. Elliot Smith 3) gegeben. Ich erwähne nur dasjenige, worin meine Befunde diejenigen dieses Forschers ergänzen oder berichtigen.

Das Rhinencephalon entspricht der von Smith gegebenen Beschreibung und Abbildung (vergl. Fig. 1). Die occipitale Anschwellung des Rhinencephalon bezeichne ich, wie bei Echidna und anderen Säugern, als Tuber rhinencephali (Trh). Die Fissura rhinalis lateralis stellt auf einem von E. Smith abgebildeten Gehirn eine einheitliche Furche dar. Auf zwei anderen Gehirnen fand er beiderseits eine Unterbrechung der F. rhinalis lateralis (vergl. Fig. 5 der Smithschen Abhandlung). Auf meinen beiden Gehirnen zerfällt die F. rhinalis lateralis ebenfalls in zwei Abschnitte (Fissura rhinalis lateralis anterior und posterior). Man wird also einstweilen mit einiger Wahrscheinlichkeit anzunehmen haben, daß dies Verhalten das überwiegende ist. Bei anderen Edentaten kommt eine solche Teilung der Fissura rhinalis lateralis ebenfalls vor. So finde ich sie z. B. auf allen meinen Manis-Gehirnen. Bei manchen Edentaten fehlt die Fissura rhinalis lateralis posterior. Bei Chlamydophorus soll nach E. Smith die ganze Fissura rhinalis lateralis fehlen.

Journ. de l'Anat. et de la Phys., 1868, p. 658 und 1869, nam. p. 15, 154 u. 355.
 Nouv. Arch. du Mus. d'Hist. nat. de Paris, 1869, T. V, p. 47.

<sup>3)</sup> Transact. of the Linn. Soc. of London, Vol. VII, Part. 7, Jan. 1899, p. 277. Hier findet man auch ein fast vollständiges Verzeichnis der Literatur über das Edentatengehirn.

TH. ZIEHEN, 478 106

Sehr bemerkenswert ist, daß der vordere Abschnitt der Fissura rhinalis lateralis unterhalb des hinteren endet. Die palliorhinale Uebergangswindung, welche durch die Unterbrechung der Fissura rhinalis lateralis zustande kommt, verläuft fast rein longitudinal.

Die folgende Tabelle 1) gibt über das Verhalten der Fissura rhinalis lateralis anterior und posterior bei den meisten Säugerordnungen Auskunft:

### Fissura rhinalis ungeteilt:

Microchiropteren<sup>2</sup>) Carnivoren 8) außer Hyäniden 4) (?) und Ursiden 5) Ungulaten 6) Rodentien 7) Galeopithecus 8) Insectivoren Myrmecophagiden, Bradypodiden Marsupialier Monotremen

Fissura rhinalis in Ramus anterior und posterior getrennt:

Halbaffen außer Tarsius und Cheirogaleus 9) Mensch: im vorderen Abschnitt verküm-Macrochiropteren 10) Ursiden und vieleicht Hyäniden Pinnipedier Oryeteropus (siehe jedoch auch Text) Manis, Dasypodiden 11) (außer Chlamydophorus)

Fissura rhinalis nur im vorderen oder nur im hinteren Abschnitt oder überhaupt nicht angelegt:

mert, im hinteren schwach entwickelt. Affen: ebenso, hinterer Abschnitt besser entwickelt als bei dem Menschen.

Tarsius: der hintere Abschnitt fehlt. Cheirogaleus: beide Abschnitte scheinen zu

Cetaceen: vorderer Abschnitt verkümmert. Chlamydophorus: beide Abschnitte verkümmert 12).

Aus dieser Uebersicht ergibt sich jedenfalls, daß das Verhalten der Fissura rhinalis lateralis und namentlich ihr Zerfall in zwei Abschnitte von sehr verschiedenen, zum Teil noch unbekannten Faktoren abhängig ist. Die absolute Größe des Gehirns und der makrosmatische bezw. mikrosmatische Charakter des Gehirns sind unverkennbar von Einfluß, reichen aber zur Erklärung der Unterschiede nicht aus.

Sehr interessant ist das Verhalten der Furche α 13). Wie ich schon früher auseinandergesetzt habe 14), ist diese Furche die älteste des Palliums der Säugetiere. Ich bezeichnete sie daher auch als Sulcus

<sup>1)</sup> Ich habe mich allerdings in dieser Tabelle auf die Haupttatsachen beschränkt und namentlich auf genauere Literaturnachweise verzichtet. Ich verweise noch auf die eingehenden Erörterungen in KÜKENTHAL-ZIEHEN, Zentralnervensystem der Cetaceen, p. 181 ff.

<sup>2)</sup> Draeseke, Monatschr. f. Psychiatrie u. Neurol., Bd. XIII, 1903, p. 448.

<sup>3)</sup> Ganz ausnahmsweise kommen Unterbrechungen vor, so z. B. auch beim Hund (vergl. FLATAU-JACOBSOHN, Handb. d. Anat. u. vergl. Anat. d. Zentralnervensyst. d. Säugetiere, Bd. I, Berlin 1899, p. 233); Flatau und Jacobsohn glauben jedoch, daß in diesen Ausnahmefällen eigentlich die Fiss. rhin. lat. post. in ihrem vorderen Abschnitt unterbrochen ist. Vergl. auch KRUEG, Zeitschr. f. wiss. Zool., Bd. XXXIII, 1880, p. 657.

<sup>4)</sup> Bezüglich der Hyäniden widersprechen sich die Angaben von Flatau-Jacobsohn (l. c. p. 300) und Krueg.

<sup>5)</sup> KRUEG, Zeitschr. f. wiss. Zool., Bd. XXXIII, 1880, und ZIEHEN, Anat. Anz., 1890, p. 698, Fig. 4.

<sup>6)</sup> Bei Elephas scheint die Fissura rhinalis posterior verkümmert zu sein, doch hat in diesem Punkt selbst die neueste wertvolle Monographie von Dexler (in Obersteiners Arbeit. a. d. Neurol. Inst. a. d. Wien. Univ., Festschr. Obersteiner, 1907, namentlich p. 116) keine völlige Aufklärung gebracht.

<sup>7)</sup> Das Gehirn von Dotichotis patagoniea würde, wenn die BEDDARDsche Abbildung richtig ist (Proceed. Zool. Soc.

London, 6. XII. 1892, p. 608, Fig. 5) eine Ausnhame bilden.

8) ZIEHEN, Anat. Anz., Bd. XXII, 1903, p. 517, Fig. 6.

9) Vergl. meine Abhandlungen Arch. f. Psychiatrie, Bd. XXVIII, H. 3 und Anat. Anz., Bd. XXII, 1903, No. 24. Ueber Chiromys habe ich kein eigenes Urteil; nach Owen (On the Ayeaye, Transact. Zool. Soc. London, Vol. V, p. 33, und PANSCH, Arch. f. Anthropol., Bd. III, 1868, Taf. 8, Fig. 31 u. 32) scheint auch bei diesem Tier die Fissura rhinalis lateralis in zwei Aeste zu zerfallen. Es muß auch ausdrücklich bemerkt werden, daß die Fissura rhinalis anterior der Halbaffen nicht etwa nur die laterale Grenzfurche der lateralen Wurzel des Tractus olfactorius ist. In ihrem vorderen Teil fällt sie allerdings mit dieser Grenzfurche zusammen, in ihrem hinteren trennt sie sich jedoch ganz deutlich von der Tractuswurzel. Bei manchen Lemur-Arten ist das freie Stück etwa 1/2 cm lang.

<sup>10)</sup> ZIEHEN, Zentralnervensyst. der Monotr. und Marsup., Teil I, p. 151; DRAESEKE, Monatsschr. f. Psychiatrie u. Neurol., Bd. XIII, 1903, p. 448.

<sup>11)</sup> E. Smith gibt außerdem an, daß bei Tolypentes und Xenurus "das kaudale Ende" der Fissura rhinalis lateralis posterior fehlen kann (also wohl nicht die ganze Fissura rhinalis lateralis posterior?). Das Gehirn von Priodon ist nur durch einen Schädelausguß (Gervais, l. c. Taf. 2, Fig. 12) bekannt, der überdies nur in der Ansicht von oben abgebildet ist. Flatau und Jacobsohn (Handbuch, p. 482, Fig. 109) haben bei Dasypus setosus die Fissura rhinalis lateralis anterior nur vermutungsweise in der von ihnen mit 3 bezeichneten Furche gesucht. Mit E. Smith halte ich diese Deutung für ganz zweifellos.
12) Vergl. Smith, l. c. p. 299 u. 350.

<sup>13)</sup> Ich wähle diese Bezeichnung in Uebereinstimmung mit meinen früheren Arbeiten.

<sup>14)</sup> Zentralnervensystem der Monotremen und Marsupialier, Teil 1, p. 153.

primigenius1). Auch auf ihre Homologien bei den Edentaten habe ich schon damals hingewiesen. Sie findet sich in ganz analoger Weise z. B. bei den Aplacentaliern und bei den Insectivoren. Bei den Carnivoren und Ungulaten kehrt sie als Sulcus praesylvius wieder, wie schon Weber mit Bezug auf die analoge Furche von Manis annahm. Auf der Seitenansicht des Gehirns von Orycteropus, welche sich in der Abhandlung von Elliot Smith findet, mündet sie in die Fissura rhinalis lateralis. Dasselbe zeigen meine Orycteropus-Gehirne. Allerdings scheint die Furche in der Gegend der Einmündung in die Rhinalfissur etwas seichter zu werden. Das vordere obere Ende der Furche ist etwas in die Längsrichtung abgelenkt. Auf einer meiner Hemisphären verläuft das frontale Endstück dem medialen Mantelrand fast parallel. Mit der alsbald zu besprechenden Längsfurche der lateralen Konvexität, welche ich im Anschluß an E. Smith mit γ bezeichnen will, hängt die Furche α nicht zusammen. Nur durch eine ganz oberflächliche Gefäßfurche wird auf meinen Gehirnen ein Zusammenhang vorgetäuscht. Auf dem von Smith abgebildeten Gehirn wäre, wofern es sich nicht doch auch nur um eine verbindende Gefäßfurche handelt, ein Zusammenhang beider Furchen vorhanden. Auch für die beiden anderen ihm zugänglich gewesenen Gehirne gibt Smith einen Zusammenhang der beiden Furchen an.

Das Verhalten der Furche α bei den übrigen Edentaten wechselt. Bei Myrmecophaga und Tamandua kommuniziert sie nicht mit der Fissura rhinalis lateralis (Smith, Fig. 7, 8 u. 25). Für Bradypus zeichnet E. SMITH 2) eine gestrichelte Verbindungslinie, bei Choloepus scheint nach demselben Autor und nach TURNER 3) eine Kommunikation vorhanden zu sein. Bei Tatusia peba fehlt die Kommunikation (SMITH). Bei Chlamydophorus ist die Furche a auf der Smithschen Figur überhaupt nicht sicher zu erkennen. Bei Dasypus zeichnen Turner4), Smith und Flatau-Jacobsohn α als eine einfache Verlängerung der Fissura rhinalis posterior, so daß diese mit a nur eine Furche zu bilden scheint. Interessant ist, daß bei Bradypus und namentlich bei Choloepus die Furche α noch tief in die Medialfläche einschneidet (Smith, l. c. Fig. 17 u. 18). Auf der linken Hemisphäre dreier Manis-Gehirne fand Weber 5) einen Zusammenhang mit der Furche.

Unter den übrigen Furchen des Palliums ist die bereits erwähnte Furche y am konstantesten. Sie findet sich auf allen Gehirnen in ganz charakteristischer Lage. Sie läuft nämlich dem medialen Mantelrand in einem Abstand von ca. 8-10 mm parallel, biegt aber frontalwärts im Bogen seitwärts ab und nähert sich der Furche  $\alpha$  bis auf ca. 2-3 mm (siehe oben). Vom Occipitalpol bleibt sie  $1^{1}/_{2}$ -2 cm entfernt. Bei anderen Edentaten (Choloepus, Bradypus) zerfällt sie in zwei Teilstücke 6). Es liegt sehr nahe, sie mit dem S. lateralis der Carnivoren und mit der bekannten Sagittalfurche des Nagetiergehirns zu homologisieren, wie dies z. B. auch Smith getan hat (l. c. p. 336). Dabei kann ich darauf hinweisen, daß auch bei manchen Aplacentaliern sich eine analoge Längsfurche findet. Ich verweise z. B. auf Fig. 39 und 70 meiner ersten Monographie über das Aplacentaliergehirn.

Die Vallecula Sylvii ist als eine breite flache Nische im Bereich des Rhinencephalon sehr gut zu erkennen. Oberhalb der Fissura rhinalis lateralis, also im Bereich des Palliums, sieht man nur eine kleine, seichte, etwa dreieckige Depression (FoS), welche ich als Fossa Sylvii deute. Auf 3 Hemisphären ist sie deutlich ausgeprägt, auf einer nur undeutlich. Von dieser Fossa Sylvii zieht eine kleine Furche, die auf keiner meiner Hemisphären fehlt, occipitoparietalwärts. Sie kann unbedenklich als Fissura Sylvii (FiS) bezeichnet werden. In ihr verläuft eine stärkere Arterie. In den Abbildungen des Orycteropus-Gehirns, welche

<sup>1)</sup> l. c. p. 154.

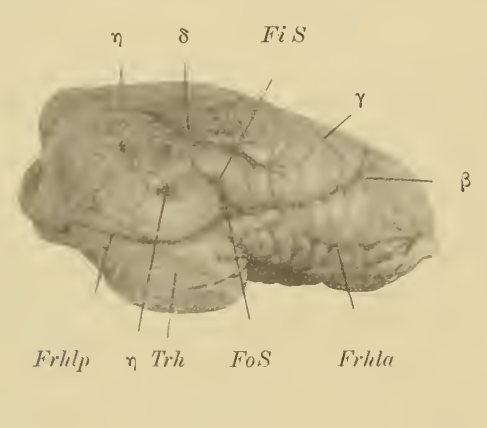
<sup>2)</sup> Vergl. Fig. 11 u. 26, sowie Text p. 346. 3) Journ. of Anat. and Physiol., 1891, Fig. 14 u. 15.

<sup>4)</sup> Journ. of Anat. and Physiol., Vol. I, 1867, p. 314, und Vol. XXV, 1891, Fig. 13.

<sup>5)</sup> Zool. Ergebnisse einer Reise in Niederl.-Ostindien, Leiden 1892, Taf. 9, Fig. 67 u. p. 88. 6) Bezüglich aller Einzelheiten verweise ich auf die Smithsche Monographie.

480 Th. Ziehen, 108

E. Smith gibt, ist die Fossa Sylvii nicht angegeben, wohl aber findet sie sich sehr deutlich ausgeprägt auf seiner Abbildung des Myrmecophaga-Gehirns 1) (Fig. 7). Sehr interessant ist auch eine Furche μ, welche E. Smith auf einer Seitenansicht des Gehirns von Bradypus didactylus zeichnet. Sie steigt von der Biegung der Fissura rhinalis lateralis schräg occipitoparietalwärts auf. Offenbar handelt es sich um die Fissura Sylvii. Die Bedenken von Smith scheinen mir nicht gerechtfertigt. Flatau und Jacobsohn zeichnen bei Dasypus setosus (Fig. 109) eine innerhalb des Rhinencephalon aus der Fissura rhinalis medialis bezw. aus der lateralen Grenzfurche der lateralen Riechwurzel occipitoparietalwärts aufsteigende Furche und bezeichnen diese als Rudiment der Fossa Sylvii. Ich möchte glauben, daß es sich um eine stärker ausgebildete Gefäßfurche der Art. cerebri media in dem Sinne meiner Auseinandersetzungen in meiner ersten Aplacentaliermonographie (p. 152) handelt, und trage nur Bedenken, die ohnehin etwas unsicher gewordene Bezeichnung Fossa Sylvii auch für eine solche nach der Zeichnung offenbar lineare Furche des Rhinencephalon zu verwenden. Bezüglich Manis kann ich auf meine frühere Bemerkung verweisen (l. c. p. 152).





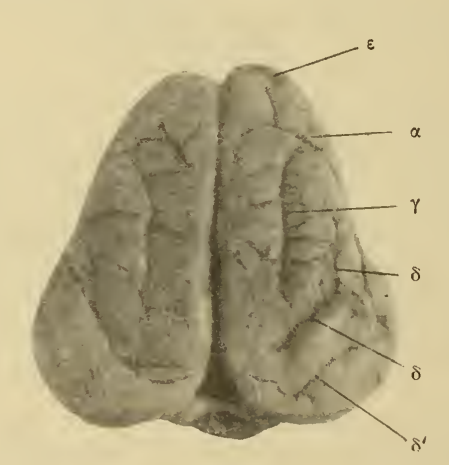


Fig. 2.

Zwischen der F. rhinalis lateralis und der Furche  $\gamma$  liegt eine weitere Furche, die ich mit  $\delta$  bezeichne. Sie beginnt auf 2 meiner Hemisphären  $^2$ ) zwischen dem hinteren Ende der Furche  $\gamma$  und der occipitalen Mantelkante und wendet sich zunächst frontolateralwärts, biegt aber dann in eine fast rein sagittale Verlaufsrichtung um. Auf den beiden anderen Hemisphären sowie auf den von E. Smith untersuchten Hemisphären (soweit abgebildet) ist das Verhalten der Furche komplizierter; namentlich kann sie in 2 oder selbst 3 Teilstücke zerfallen. Auf einer meiner Hemisphären ist  $\gamma$  im hinteren Teil verkümmert und dafür  $\delta$  sehr mächtig ausgebildet. Ihre Identifikation bei Myrmecophaga bietet Schwierigkeiten. Bei Bradypus und Choloepus würde sie, wenn die Deutung von E. Smith (Fig. 11 und 12) richtig ist, einen basalwärts konkaven Bogen bilden. Auch bei Dasypus sexcinctus bezeichnet Smith eine solche basalwärts konkave Furche als  $\delta$  (Fig. 14). Bei Dasypus setosus wird dieselbe Furche von FLATAU und JACOBSOHN — wohl etwas kühn — als Sulcus interparietalis gedeutet. Ich möchte mich, bis weitere Untersuchungen vorliegen, aller Deutungs-

<sup>1)</sup> Auf die Achnlichkeit des Gehirns des Ameisenbären und des Orycteropus-Gehirns hat Pouchet wiederholt hingewiesen (Journ. de l'Anat. et de la Phys. norm. et path., 1869, p. 16 u. 151), ebenso auch Gervais, Nouv. Arch. du Mus. d'Hist. nat., 1869, p. 48. É. Smith hat in etwas übertriebenen Ausdrücken und mit sehr ungleichwertigen Argumenten (l. c. p. 342) diese Ansicht bestritten. Recht hat Smith, insofern er hervorhebt, daß bei Orycteropus im Gegensatz zu den Myrmecophagiden die Fissura rhinalis lateralis annähernd horizontal verläuft und namentlich in ihrem occipitalen Abschnitt viel weniger basalwärts abbiegt. Unrecht hat er z. B., insofern er Orycteropus generell die Fossa Sylvii ganz abspricht ("not the faintest trace").

Unrecht hat er z. B., insofern er Oryeleropus generell die Fossa Sylvii ganz abspricht ("not the faintest trace").

2) Dieselben gehören einem und demselben Gehirn an. Auf die überwiegende Symmetrie der Hirnwindungen der Edentaten hat schon Pouchet hingewiesen (Journ. de l'Anat. et de la Phys., 1869, p. 9). Sie ist keineswegs bei allen Säugetieren gleich stark ausgeprägt.

versuche enthalten. Bei Bradypus, Choloepus und Dasypus scheint die Furche δ relativ stärker entwickelt zu sein; nach den Abbildungen Pouchets1) ist sie schon bei dem Foetus des Aï sehr deutlich ausgeprägt.

Auf allen Hemisphären finde ich ferner eine in ihrem Verlauf inkonstante Furche, welche auf Fig. I als  $\eta$  bezeichnet ist. Sie liegt zwichen der Furche  $\delta$  und der Fissura rhinalis lateralis posterior. Bald stellt sie nur einen ziemlich tiefen Kessel dar, bald ist sie strahlenförmig ausgebildet. Sie kann durch eine oberflächliche Gefäßfurche mit der Fissura Sylvii kommunizieren. Zuweilen findet sich occipitalwärts noch eine zweite ähnliche Furche  $\eta'$ ; freilich bleibt es dann zweifelhaft, ob man nicht vielmehr ein Teilstück von  $\delta$  vor sich hat. Jedenfalls kommt auch eine Parallelfurche zu  $\delta$  vor — auf Fig. 2 ist sie mit  $\delta'$ bezeichnet —, welche schwer von  $\eta'$  zu trennen ist.

Im Frontalgebiet zeigt die Fig. 3 von E. SMITH<sup>2</sup>) noch eine weitere kleine Furche. Da sie auch auf meinen Gehirnen vorhanden ist, muß sie wohl zu den konstanteren Furchen des Orycteropus-Gehirns gerechnet werden; allerdings ist sie zuweilen nur angedeutet. Sogar auf einem von GERVAIS abgebildeten Schädelausguß (l. c. Taf. 2, Fig. 5) ist sie rechts zu erkennen. Auf Fig. 2 ist sie mit & bezeichnet. Sie verläuft dem vorderen Mantelrand ziemlich genau parallel3). Das Vorkommen einer solchen Furche bei anderen Edentaten ist zweifelhaft.

Die Medialfläche habe ich nur an einem Orycteropus-Gehirn untersucht. Das Bild stimmt in den wesentlichen Punkten mit der von E. Smith gegebenen Abbildung (l. c. Fig. 4) und Beschreibung (l. c. p. 324 ff.) ziemlich gut überein. Außer der sofort zu identifizierenden Fissura hippocampi findet sich nur eine einzige Furche, welche einen großen Bogen längs des Mantelrandes vom Occipitalpol bis zum Frontalpol beschreibt (von Smith als α bezeichnet). Ich trage kein Bedenken, sie mit dem Sulcus splenialis anderer Säuger zu homologisieren. Auf der einen Hemisphäre ist sie in der Mitte ihres Verlaufes durch eine Brücke unterbrochen 4). Am tiefsten ist sie in ihrem hintersten Abschnitt, wie auch Smith hervorgehoben hat. Occipital endet sie etwas oberhalb der in den Mantelrand einschneidenden Fissura rhinalis lateralis posterior. Frontal würde sie nach der Abbildung von Smith einen rückläufigen Bogen beschreiben und in die Fissura hippocampi einmünden. Meine beiden Hemisphären verhalten sich anders. Die Furche zeigt auf denselben eine deutliche Gabelung: der obere Gabelast, der übrigens auch auf der Figur von Smith durch zwei Striche angedeutet ist, steigt fast bis zur Mantelkante auf, der untere steigt erst fast senkrecht abwärts und biegt dann occipitalwärts in die Längsrichtung um; seine Kommunikation mit der Fissura hippocampi ist nur ziemlich oberflächlich (vermutlich handelt es sich um eine Gefäßfurche). Zwischen den beiden Gabelästen besteht auch insofern ein Unterschied, als nur der obere eine scharf einschneidende Furche darstellt, während der untere etwas mehr den Eindruck einer breiteren Depression macht. Auf einzelne seichte Kerben, welche die Medialfläche außerdem noch darbietet, gehe ich nicht näher ein. Die

I) L. c. 1869, Taf. 3, Fig. 1 und 2. Auf einem Frontalgehirn von Oryeteropus, welches Pouchet abbildet (Taf. 5, Fig. 4), ist  $\delta$  übrigens links auch zu erkennen, rechts ist  $\delta$  nicht ganz sicher zu identifizieren.

<sup>2)</sup> Die bezügliche Figur ist nach einer Bleistiftskizze von HUXLEY angefertigt.

<sup>3)</sup> GERVAIS (Mémoires sur les formes cérébrales propres aux édentés vivants et fossiles, Nouv. Arch. du Muséum d'Hist. nat., T. V, 1869, Taf. 1, Fig. 4) zeichnet auf einem Gehirn eines reifen Foetus von Oryeteropus capensis eine merkwürdige Furche, welche von α ausgeht und nahe dem frontalen Hirnpol in die Mantelkante einschneidet. Das Gehirn stammt aus derselben Galerie d'anatomie comparée, aus welcher das von Pouchet beschriebene fötale Oryeteropus-Gehirn stammt. Die Pouchetsche und die GERVAISSche Arbeit sind in demselben Jahr erschienen. POUCHET nimmt an, daß es sich um einen Foetus aus der Mitte der Tragzeit handelt (l. c. p. 16). Das von Pouchet abgebildete Gehirn ist noch von der weichen Hirnhaut eingehüllt. Trotzdem läßt sich erkennen, daß der Furchenverlauf der beiden Gehirne sehr verschieden ist. Handelt es sich vielleicht trotzdem um dasselbe Gehirn? Ich muß gestehen, daß es auffällig bleibt, warum, wenn 2 Gehirne in der Sammlung vorhanden waren, beide Forscher nur eines erwähnen (ihre Arbeit ist in demselben Jahr erschienen). Da übrigens GERVAIS selbst angibt, daß sein fötales Orycteropus-Gehirn schlecht konserviert war (l. c. p. 47), so ist der oben angegebene ganz auffällige Furchenverlauf wohl kaum

<sup>4)</sup> Durch eine Gefäßfurche wird ein ununterbrochener Verlauf vorgetäuscht.

482 TH. ZIEHEN,

Medialfläche der übrigen Edentaten ist noch nicht genau genug bekannt, um eine Vergleichung durch die ganze Ordnung hindurch durchzuführen. — Bei Tamandua tetradactyla zerfällt nach einer Abbildung von SMITH (l. c. Fig. 10) die große mediale Bogenfurche in 3 ganz getrennte verkümmerte Teilstücke; bei Myrmecophaga sind diese 3 Teilstücke nach Forbes 1) besser ausgeprägt. Bei Cycloturus scheint nach Pouchet 2) die Furche ganz zu fehlen. Bei Bradypus tridactylus verläuft sie nach der Abbildung von SMITH (l. c. Fig. 17) im Frontalteil fast genau, wie ich es soeben für Orycteropus beschrieben; namentlich sind die beiden Gabeläste fast genau in derselben Weise vorhanden. Im Occipitalteil zeigt die Furche hingegen eine ganz charakteristische Abweichung. Nach einer breiten Brücke setzt sich die Furche anscheinend in einer fast vertikal verlaufenden Furche fort, welche einerseits bis zum Mantelrand gelangt, um hier mit der Furche γ in Verbindung zu treten, und andererseits bis in die Gegend des hinteren Endes der Fissura rhinalis lateralis zu verfolgen ist 3). Bei Choloepus didactylus ist, wie Fig. 18 von Smith zeigt, der frontale Abschnitt der Furche stark verkürzt - vielleicht im Zusammenhang mit der weiten Ausdehnung der Furche α auf die Medialfläche. Im Occipitalgebiet verhält sich die Furche insofern wie bei Bradypus, als sie nach einer breiten Brücke durch eine senkrecht aufsteigende Furche vertreten wird. Auf einer Hemisphäre von E. Smith schneidet sie eben in den Mantelrand ein. Dasselbe gibt Turner 4) für ein Gehirn von Choloepus Hoffmanni an. — Unter den Dasypodiden würde die Splenialfurche bei Xenurus unicinetus nach Smith (Fig. 24) im Frontalteil einen ähnlichen Verlauf zeigen, wie ihn Smith für Orycteropus beschreibt; im Occipitalteil scheint sie ganz zu fehlen. Bei Dasypus beschreibt sie einen einfachen Bogen (Sмітн, S. 328, vergl. auch Turner, l. c. Fig. 13); Flatau und Jacobsohn 5) beschreiben eine Gabelung am hinteren Ende und zeichnen außerdem eine wohl als abgesprengtes Teilstück aufzufassende kleine Furche im Stirnteil. Bei Chlamydophorus soll die F. splenialis ganz fehlen (SMITH, Fig. 16). - Das Verhalten der F. splenialis von Manis habe ich bereits früher beschrieben. Sie stellt hier eine Längsfurche dar, welche im Frontalteil T-förmig gegabelt endigt. Auf die Frage der Homologien der F. splenialis in der Säugetierreihe kann ich hier nicht eingehen, ich muß nur mein Befremden ausdrücken, daß E. Smith als seine "tentative working hypothesis" die Homologie des occipitotemporalen Teilstückes der F. splenialis mit dem Stiel der F. calcarina vorträgt, während doch Kükenthal und ich schon viel früher wiederholt uns ausführlich in diesem Sinn ausgesprochen haben 6).

Die Hirnbasis und das Rhinencephalon von Orycteropus ist von E. Smith bereits richtig beschrieben worden. Ein besonderes Interesse knüpft sich an die Teilung der Cappa olfactoria 7) in 2 große Lappen, einen medioventralen und einen dorsolateralen. Ein Vergleich mit dem von Gudden bei dem Kaninchen entdeckten Nebenbulbus scheint mir ohne Zwang nicht durchzuführen. Die von E. Smith beschriebenen wulstigen Erhebungen und Einschnürungen des Rhinencephalon in seinem vorderen Abschnitt finden sich auch auf meinen beiden Gehirnen. Sie erscheinen hier fast rosenkranzartig angeordnet. Auf die mikroskopischen Eigentümlichkeiten, die diesem morphologischen Verhalten entsprechen, werde ich an anderer Stelle zurückkommen. Ich bemerke einstweilen nur, daß in den meisten, wenn nicht allen diesen queren

<sup>1)</sup> Proc. Zool. Soc. London, 1882, p. 293, Fig. 4.

<sup>2)</sup> L. c. Taf. 4, Fig. 4 (Dionyx).

<sup>3)</sup> So verstehe ich wenigstens die Beschreibung von E. SMITH, p. 327. Auf Fig. 17 ist dies occipitale Teilstück seltsamerweise nicht angegeben (verdeckt vom Kleinhirn??).

<sup>4)</sup> Journ. of Anat. and Physiol., Vol. XXV, 1891, Fig. 15, p. 121. Turner homologisiert das vordere Teilstück der Furche bereits mit dem S. splenialis. Bei *Choloepus didaetylns* würde nach Flower (Philos. Transact., Vol. CLV, Part 2, 1865, Taf. 37, Fig. 5, p. 639) nur ein ununterbrochener S. splenialis existieren.

<sup>5)</sup> L. c. p. 485, Fig. 110.

<sup>6)</sup> Ueber das Zentralnervensystem der Cetaceen, p. 195; Arch. f. Psychiatr., Bd. XXVIII, Heft 3.

<sup>7)</sup> Bezüglich der Nomenklatur vergl. meine Abhandlung in Verh. d. Kon. Ak. Wetensch. Amsterdam, 26. November 1904.

İΠ

Schnürfurchen kürzere arterielle und venöse Gefäße verlaufen. Ueberhaupt ist der Reichtum dieser Gegend an großen Gefäßen bemerkenswert. Im Bereich der Fissura rhinalis lateralis anterior entwickelt sich geradezu ein mächtiges Venengeflecht.

Das Tuberculum olfactorium ist auf einem meiner - gehärteten - Gehirne ca. 11 mm breit und ca. 14 mm lang (das andere Gehirn wurde leider vor der Einbettung nicht gemessen). Eine Anschwellung des Tractus olfactorius am Seitenrand der Substantia perforata anterior, wie sie GANSER 1) bei dem Igel und bei der Ratte beschrieben hat, vermochte ich nicht nachzuweisen. E. Smith hat sie bei Myrmecophaga, Tamandua, bei den Dasypodiden und Bradypodiden gefunden. Eine ausgezeichnete Abbildung gibt Retzius<sup>2</sup>) für Dasypus villosus und Myrmecophaga jubata. Bei Manis finde ich sie nur wenig ausgeprägt. Retzius bezeichnet sie als Gyrus rhinencephali intermedius 3). Da es sich nicht um einen wirklichen "Gyrus" handelt, empfiehlt sich etwa eine Bezeichnung wie "Colliculus olfactorius"4).

Am gleichen Ort beschreibt Retzius auf der Basalfläche des Rhinecephalon bei Myrmecophaga und Dasypus noch zwei Windungen, die sich occipitalwärts unmittelbar an den Gyrus intermedius anschließen. Er bezeichnet die mediale als Gyrus lunaris, die laterale als Gyrus ambiens (primus), die Furche zwischen beiden als Sulcus semiannularis 5). Bei Orycteropus kann ich diese Gebilde nicht sicher identifizieren. Das Rhinencephalon ist mit Ausnahme zweier seichter, schräg verlaufender Depressionen in seinem hinteren Abschnitt (Tuber rhinencephali) fast ganz glatt. Demgegenüber finde ich auf meinen Manis-Gehirnen sowohl den Gyrus lunaris wie den Gyrus ambiens sehr gut ausgeprägt.

Der Smithschen Beschreibung der Kommissuren auf dem Medianschnitt habe ich nichts hinzuzufügen. Der Querschnitt der Commissura anterior maß auf dem einen meiner Gehirne 5:4 mm. Die Länge des Balkens beträgt reichlich 17 mm (bei einer Gesamtlänge des Großhirns von knapp 6 cm exkl. Lobus olfactorius). Bezüglich des Verhaltens der übrigen Edentaten verweise ich auf Smith, l. c. p. 305 ff.

Auch bezüglich der Hippocampusregion kann ich mich in den wesentlichen Punkten Smith anschließen. Insbesondere hat Smith mit Recht hervorgehoben, daß Orycteropus in einer unter den Edentaten ganz exzeptionellen Weise eine Uncusbildung zeigt, die fast an menschliche Verhältnisse erinnert. Die von Smith vorgeschlagene Bezeichnung "Tuberculum hippocampi" scheint mir zu nichtssagend. Ich schlage vor, von einem Tuberculum unci zu sprechen 6), sofern man nicht die Retziussche Bezeichnung "Gyrus intralimbicus" adoptieren will. — Die Balkenwindung ("Hippocampus nudus" von Smith) ist deutlich zu erkennen. Oberhalb des Balkens setzt sich die Hippocampusformation in Gestalt eines schmalen Streifens bis in das Frontalgebiet fort. Wenn ich Smith (l. c. p. 317) richtig verstehe, hält er die tiefe Furche, welche diesen rudimentären Hippocampusstreifen von dem Pallium trennt, nicht für die Fissura hippocampi, sondern für die Fissura callosalis (F. corp. callosi) und läßt die letztere aus dem Sulcus hippocampopallialis 7) ("hippocampo-pallial limiting furrow"), welcher stellenweise auswärts von der Fissura hippocampi die Grenze zwischen Pallium- und Hippocampusformation bildet, hervorgehen; die Fissura hippocampi würde dann also blind unterhalb des Spleniums endigen. Ich war leider nicht in der Lage, eine Hemisphäre zur Aufklärung

<sup>1)</sup> Morph. Jahrb., Bd. VII, p. 598, Fig. 14 u. 15. Bei Maulwurf und Maus gelang GANSER der mikroskopische Nachweis.
2) Biol. Untersuch., N. F. Bd. VIII, Taf. 7, Fig. 5, Taf. 10, Fig. 3, und Taf. 7, Fig. 4 u. 4a.
3) L. c. p. 31 und Verh. d. Anatom. Gesellsch., 1897, p. 105.

<sup>4)</sup> Die Bezeichnung von SMITH "Tuberculum tractus olfactorii" muß zu Mißverständnissen führen.

<sup>5)</sup> Ich will bei dieser Gelegenheit bemerken, daß ich gegen die Retziussche Deutung des Gyrus intermedius, lunaris und ambiens bei den Aplacentaliern (Echidna, Didelphys) noch manche Bedenken habe.

<sup>6)</sup> Bezüglich der Nomenklatur verweise ich außerdem auf meine 4. Monographie über das Zentralnervensystem der Monotremen und Marsupialier, p. 837.

<sup>7)</sup> Diese Furche fällt wohl mit der von mir beschriebenen Furca des Echidna-Gehirns zusammen (4. Monographie, p. 827, vgl. auch p. 837).

dieser Frage zu opfern. Es scheint mir nach der Oberflächenbetrachtung, daß in der Tat, wie E. Smith angibt, die Fissura hippocampi in der Nähe des Spleniums blind endigt. Es kommen sonach für die tiefe Furche oberhalb des Balkens drei Deutungen in Frage:

- 1) als obere Durchbruchsfurche des Balkens,
- 2) als Sulcus hippocampopallialis,
- 3) als ein von dem Hauptteil der Fissura hippocampi abgelöster Abschnitt der Fissura hippocampi.

Einstweilen möchte ich die erste Deutung an die Spitze stellen, aber doch nicht ausschließen, daß Furchungstendenzen im Sinne der zweiten und dritten Deutung mitgewirkt haben könnten. Auch kann vielleicht die Verkümmerung des Hippocampus als solche zur Vertiefung der Furche beigetragen haben 1). Die Fissura limitans pallii, welche Smith außerdem im Frontalgebiet, z. B. bei Tamandua, beschreibt (l. c. p. 317), ist meines Erachtens, soweit es sich nicht um eine Gefäßfurche handelt, jedenfalls einerseits, rein morphologisch betrachtet, eine seichte Fortsetzung der Fissura rhinalis lateralis bezw. deren Endstücks auf der Medialfläche, andererseits, histologisch betrachtet, das vorderste Endstück des Sulcus hippocampopallialis. Freilich ist hierzu zu bemerken, daß die Hippocampusformation in diesem Gebiet schon fast ganz von der eigenartigen Formation der Area praecommissuralis verdrängt ist. Einer besonderen Nachprüfung bedarf auch die Angabe von E. Smith, daß die Fascia dentata an dem rudimentären Hippocampus oberhalb des Balkens unbeteiligt ist ("ceases as a definitely recognizable entity").

Die Area praecommissuralis zeigt die von E. Smith beschriebene Lage.

Zur makroskopischen Anatomie des Zwischen- und Mittelhirns von Orycteropus kann ich nichts Neues beibringen.

Bezüglich des Hinter- und Nachhirns erwähne ich, daß die Pyramide bei ihrem Hervortreten aus dem Pons jederseits knapp 21/2 mm breit ist. Etwas genauer möchte ich nur die makroskopische Anatomie des Kleinhirns besprechen. Ich habe in meiner 1. Monographie über das Zentralnervensystem der Monotremen und Marsupialier, p. 169 ff. bereits Homologien der Kleinhirnfurchen und -lappen für eine Reihe von Säugetierordnungen aufzustellen versucht 2) und dabei auch Manis berücksichtigt. Später 3) habe ich diese Homologien durch fast alle Säugetierordnungen zum Teil noch etwas ausführlicher durchgeführt. Das Kleinhirn von Orycteropus fügt sich in diese Reihe sehr gut ein. Auf einem Medianschnitt des Wurmes erkennt man sofort die schon von Reil hervorgehobene Hauptgliederung im Vorder- und Hinterwurm bezw. — auf das Marklager bezogen — in den Truncus anterior und posterior (Reils "stehenden" und "liegenden" Ast). Die Trennungsfurche ist der Sulcus superior anterior der menschlichen Anatomie, den Strand als Sulcus furcalis, Kuithan als Sulcus primarius bezeichnet. Außer dieser Hauptgliederung, die ich, wie ich gegen Bolk 4) bemerken muß, mit klaren Worten bis zu den Primaten hinauf schon in meiner 1. Monographie vertreten habe 5), ist auch bei Orycteropus, ganz wie ich es für Marsupialier, Insectivoren, Nager usw. beschrieben habe, noch die Abspaltung eines vorderen unteren und hinteren unteren Markstrahls unverkennbar. Man wird daher den vorderen Hauptstrahl besser als vorderen oberen Strahl und den hinteren Hauptstrahl als hinteren oberen Strahl bezeichnen, wie ich dies in meiner Monographie bereits vorgeschlagen

I) Es handelt sich um dieselbe Furche, die ich bei Galeopitheeus als  $\varphi$  beschrieben habe (Anat. Anz., 1903, p. 519 u. Fig. 7). Bei Tarsius (ibid. p. 511) gestalten sich die Verhältnisse noch eigentümlicher dadurch, daß ein Pseudosulcus (Sulcus forcipitis) in den Sulcus callosalis mündet.

<sup>2)</sup> Dabei gestattet sich Herr Smith die unwahre Bemerkung: Th. Ziehen has recently given us a pure description (unilluminated by any suggestions of a general or morphological nature) of the cerebellum in the Monotremata and Marsupialia.

<sup>3)</sup> In BARDELEBENS Handbuch der Anatomie, p. 484 ff.

<sup>4)</sup> Petrus Camper, Deel III, p. 91.

<sup>5)</sup> p. 168 u. 169.

habe. Dabei ist allerdings nicht zu verkennen, daß bei Orycteropus wie bei vielen anderen Säugern der hintere untere Strahl auch als Ast des hinteren oberen Strahls (also des hinteren Hauptstrahls) aufgefaßt werden kann. Ich hatte ferner hervorgehoben, daß der hintere obere Strahl bei vielen Säugern in ganz charakteristischer Weise nach vorn überhängt, und ihn darum auch als Ramus impendens und den zugehörigen Lappen als Lobulus impendens bezeichnet. Auch bei Orycteropus ist dies Ueberhängen sehr deutlich zu erkennen. Vollständig und durchgängig verschwindet das Ueberhängen erst bei den Primaten Hand in Hand mit der stärkeren Entwicklung des Lobus anterior (superior und inferior). Hand in Hand hiermit bekommen die im Sulcus superior anterior gelegenen Tiefenwindungen des Lobulus impendens eine eigentümliche, in die Länge gezogene Form. Die Furche zwischen Lobulus impendens s. posterior superior und Lobulus posterior inferior könnte als der Sulcus inferior posterior s. tuberopyramidalis 1) oder als der Sulcus inferior anterior s. uvulopyramidalis der Primatenanatomie gedeutet werden. In Anbetracht der Tatsache, daß der Sulcus inferior anterior bei den meisten Säugern ontogenetisch vor dem Sulcus inferior posterior aufzutreten scheint, bin ich geneigt, mit E. Smith?) die in Rede stehende Furche des Orycteropus-Kleinhirns als S. inferior anterior s. uvulopyramidalis aufzufassen 3). Das würde involvieren, daß die Pyramide zum Lobulus posterior superior gehört4) (statt zum Lobulus posterior inferior). Eine völlig sichere Entscheidung wird erst möglich sein, wenn noch weitere entwicklungsgeschichtliche Untersuchungen vorliegen 5). - Sehr auffällig ist die starke Entwicklung des Lobulus anterior superior und anterior inferior. Ich fasse das Gebiet, welches auf der Smithschen Abbildung (Fig. 29) zwischen der Fissura prima und der als e bezeichneten Furche liegt, als Culmen 6), das übrige - natürlich mit Ausnahme der schmalen Lingula als Lobulus centralis auf.

Noch schwieriger ist die vergleichend-anatomische Orientierung in den Kleinhirnhemisphären. Ich betrachte alle seitherigen Versuche, einschließlich des Bolkschen<sup>7</sup>), als mißlungen. Erst sorgfältige vergleichend-entwicklungsgeschichtliche Studien und vielleicht auch Untersuchungen des Verlaufs der Cerebellarbahnen werden hier eine definitive Aufklärung bringen können. Einstweilen wird es sich empfehlen, diejenigen Hemisphärenteile, welche zu bestimmten Wurmabschnitten in klaren, unzweifelhaften Beziehungen stehen, nach diesen Beziehungen auch zu bezeichnen und im übrigen vorläufig rein topographische, nichts präjudizierende Beziehungen, eventuell sogar nur Buchstaben, von Ordnung zu Ordnung zu wählen. Ich halte es prinzipiell für falsch, wenn jeder Autor, der eine neue Theorie der Homologien der Kleinhirnlappen aufstellt, nun gleich seine Theorie auch in die Terminologie hineinträgt und diese reformieren will. Dadurch muß ein heilloser Wirrwarr einreißen. Auf einem so schwierigen Gebiet sollte der einzelne etwas weniger Selbstvertrauen und etwas mehr Zurückhaltung äußern. Nicht jeder darf sich berechtigt glauben, die Kleinhirnanatomie gewissermaßen von vorn anzufangen. Ich habe daher in dem vergleichenden Abschnitt der

I) Vergl. zur Nomenklatur meine Morphogenie des Zentralnervensystems der Säugetiere, in HERTWIGS Handbuch der vergl. u. experim. Entwicklungslehre, 1906, p. 342.

<sup>2)</sup> L. c. p. 364. Die Bezeichnung von SMITH "Fissura secunda" ist ganz unbrauchbar, da zuweilen der Sulcus praeuvularis s. uvulonodularis ontogenetisch als zweite Furche auftritt. Noch unbrauchbarer ist die von SMITH vorgeschlagene Bezeichnung Lobus centralis für den Lobulus posterior superior, da sie geradezu eine Verwechslung mit dem alteingebürgerten Lobulus centralis cerebelli provozieren muß.

<sup>3)</sup> Auch Bolk (Petrus Camper, Dl. III, p. 56, Fig. 26) faßt bei Manis die bezügliche Furche als Homologon des S. uvulopyramidalis auf.

<sup>4)</sup> Das von mir hervorgehobene "Nachschleppen" des Tuber valvulae bei manchen Säugern (1. Monographie über das Zentralnervensystem der Monotremen und Marsupialier, p. 168) wäre dann auch vorzugsweise auf die Pyramis und weniger auf das Tuber valvulae zu beziehen.

<sup>5)</sup> Die Trennung des Lobulus posterior superior vom Lobulus posterior inferior als künstlich überhaupt abzulehnen, ist im Hinblick auf die scharfe Trennung bei einzelnen Säugern wohl kaum angängig.

<sup>6)</sup> Die Bezeichnung Monticulus (= Culmen + Declive) wird am besten ganz eliminiert, da sie zwei zu verschiedenen Hauptabschnitten gehörige Kleinhirnteile zusammenfaßt (Culmen zum vorderen oberen, Declive zum hinteren oberen Lappen).

<sup>7)</sup> In Petrus Camper, Dl III. Ich verweise namentlich auf die wertvollen Abbildungen von Manis, Fig. 26, 42, 58.

Jenaische Denkschriften. XV.

15 Schultze, Förschungsreise in Südafrika. III.

vergleichenden Kleinhirnanatomie nur sehr vorsichtig für einzelne Hemisphärenlappen Homologien angegeben und im übrigen für die einzelne Ordnung einzelne charakteristische Lappen durch anschauliche Bezeichnungen (Lobulus eruciformis, palpiformis, Tabulata etc.) hervorgehoben. Auch für die Edentaten scheint mir dies Verfahren zur Zeit noch unbedingt geboten.

Die Seitenteile des Vorderwurms 1) [bei dem Menschen würden das also Vincula lingulae, Alae lobuli centralis und Partes anteriores der Lobuli quadrangulares 2) sein] sind bei *Orycteropus* wie bei allen Säugern relativ dürftig entwickelt. Die Seitenteile des Hinterwurms lassen mit Sicherheit nur folgende Hauptformationen abgrenzen:

- I) Den Lobulus palpiformis (area A von E. Smith), welcher unmittelbar hinter dem Sulcus primarius liegt und z. B. in hohem Maß sofort an das von mir so genannte<sup>3</sup>) Läppchen der Ungulaten erinnert; er entspricht wahrscheinlich dem Lobulus quadrangularis posterior des Menschen, den ich als Ala declivis zu bezeichnen jetzt vorziehe (vergl. p. 113, Anm. 6).
- 2) Den Lobulus eruciformis (area B und C von E. Smith), welcher bis zum Sulcus uvulopyramidalis reicht und ebenfalls wohl ohne Bedenken dem von mir so bezeichneten Läppchen der Ungulaten homolog gelten kann.
- 3) Die Tabulata, die wie bei den Ungulaten arkaden- oder galerienförmig angeordnet sind; bei Orycteropus sind zwei Haupt-"Stockwerke" zu unterscheiden (Paraflocculus dorsalis und ventralis von E. Smith). Ihre Homologien und ihre Beziehungen zu den Wurmabschnitten sind noch sehr zweifelhaft. Als homologe Bildung der Primaten kommt nicht nur die Nebenflocke, sondern vor allem auch die Tonsille in Betracht<sup>4</sup>).
- 4) Die Flocke.

Bezüglich der sehr weitgehenden Homologien, welche E. Smith zwischen den Hemisphärenabschnitten von Orycteropus und denjenigen des Menschen aufgestellt hat, scheint mir noch viel mehr Vorsicht geboten. Auf die interessanten, aber in ihrer Deutung noch sehr zweifelhaften Befunde dieses Autors bei anderen Edentatenkleinhirnen kann ich hier nicht eingehen.

<sup>1)</sup> Bolk, l. c. p. 91 nimmt lebhaften Anstoß an dem allgemeinen Satz, den ich zur Unterscheidung des Säugetierkleinhirns vom Vogelkleinhirn usf. folgendermaßen formuliert habe: "Allen Säugern ist gemeinsam, daß außer dem Wurm sich Hemisphären entwickeln", und warum nimmt B. Anstoß? Weil "er bei keinem einzigen seiner Cerebella auch nur die geringste Andeutung eines Wurms im Bereich des Lobus anterior gesehen hat". Nun, dann bleiben doch wenigstens die Hemisphären des Lobus posterior, und damit bleibt mein Satz richtig. Uebrigens ist die Bolksche Behauptung über das Fehlen eines Wurms im Vorderteil des Kleinhirns nicht einmal zutreffend. Richtig ist daran nur, daß, wie längst bekannt und von mir ebenfalls betont worden ist, die Fissura paramediana im vorderen Abschnitt des Kleinhirns fehlt (vergl. in meiner Anatomie p. 445); daß aber trotzdem auch hier ein Wurm unterschieden werden muß, würde Bolk alsbald einsehen, wenn er den Faserverlauf in diesem Gebiet sorgfältig untersuchen bezw. berücksichtigen würde.

<sup>2)</sup> Die Bezeichnung Lobulus quadrangularis halte ich aus demselben Grund, wie ich ihn oben gegen die Bezeichnung Monticulus angeführt habe, für unzweckmäßig. Ich schlage vor, bei dem Menschen einfach von einer Ala culminis und Ala declivis zu sprechen. Dadurch wird wenigstens nicht wieder eine neue von einer unbewiesenen Theorie abhängige Hypothese eingeschlichen.

<sup>3)</sup> Es schwebte mir dabei der Vergleich mit den Fühlern der Lamellicornier und manchen Kiefertastern vor.

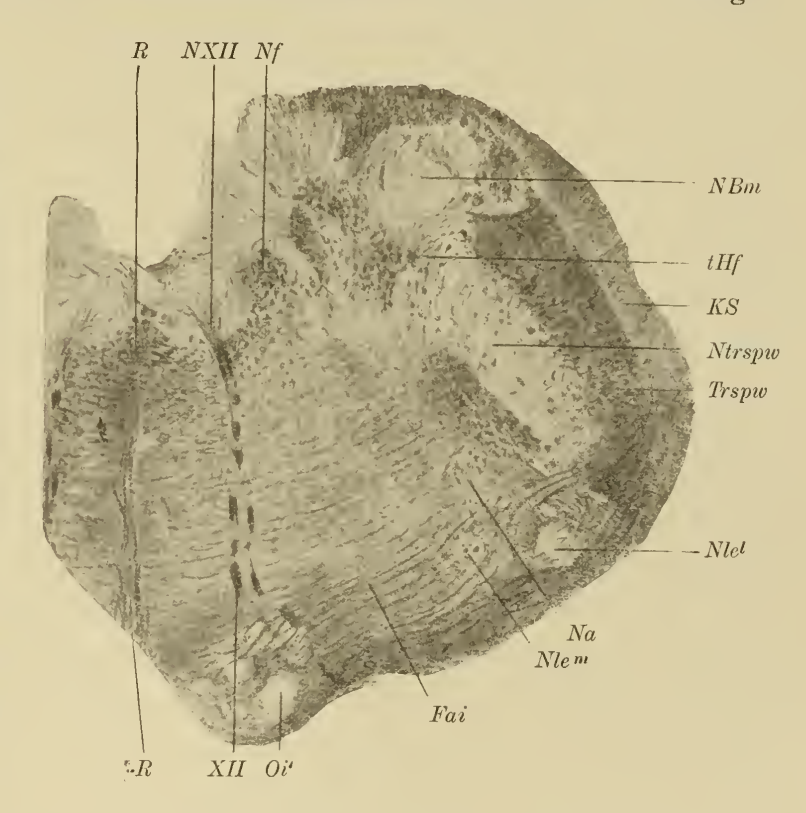
<sup>4)</sup> Die Bezeichnung der oberen Grenzfurche der Tabulata als Fissura flocculi (E. SMITH, l. c. Fig. 2) halte ich für ganz unzweckmäßig. Sie entspricht übrigens durchaus nicht, wie E. SMITH anzunehmen scheint, der Nomenklatur von STROUD (The mammalian cerebellum, Journ. of compar. Neurol., 1895, July, Vol. V, p. 71). Nach STROUD wäre die bezügliche Furche als Sulcus parafloccularis zu bezeichnen. Ich muß jedoch hervorheben, daß auch die STROUDschen Deutungen nichts weniger als sicher sind. STROUDS Bezeichnung "Sulcus floccularis" für die seitliche Fortsetzung des Sulcus praeuvularis (= postnodularis = uvulonodularis) und somit die obere Grenzfurche der Flocke ist einigermaßen passend. Hingegen ist seine Bezeichnung "Sulcus parafloccularis" für die obere Grenzfurche der Tabulaten deshalb unpassend, weil sie die sehr zweifelhafte Homologie der Tabulaten mit der Nebenflocke der Primaten voraussetzt (siehe oben im Text). Auch geriet STROUD selbst bei seinen Figurenbezeichnungen in Widersprüche (vergl. z. B. Fig. 62), indem z. B. die klare Beziehung des Nodulus zur Flocke verschoben wird u. a. m.

## b) Faserverlauf des Orycteropusgehirns.

Zum Studium des Faserverlaufes stand mir eine fast vollständige, nur im distalen Teil der Oblongata verstümmelte, nach der Palschen Methode gefärbte Schnittserie zur Verfügung. Leider ist infolge der ungünstigen Verhärtung der frontale Teil der Serie nicht ausreichend zu färben gewesen, so daß ich für den frontalen Teil des Gehirns auf Abbildungen und auf eine genauere Darstellung verzichten muß. Zum Vergleich verwendete ich zwei allerdings nicht so vollständige Serien von Manis javonica und Myrmeco-phaga jubata. Ich werde im folgenden die Besprechung unmittelbar an die Beschreibung einzelner in Textfiguren dargestellter Schnitte anschließen und auch die vergleichend-anatomischen Bemerkungen, welche zum Teil auch mit auf andere Säugetierordnungen übergreifen, sofort einfügen. Da mir Rückenmarksschnitte nicht zur Verfügung stehen, beginne ich mit einem Schnitt aus dem distalen Teil der Oblongata.

Fig. 3. Querschnitt durch die Medulla oblongata von Oryeteropus (Objekttr. III, Schn. 6). Palsche Färbung. Vergrößerung fast 8:1. Fai Fibrae arcuatae internae. KS Kleinhirnseitenstrangbahn. Na Nucleus ambiguus. NBm medialer Burdachscher Kern. Nf Nischenfeld (siehe Text zu Fig. 3). Nlel Nucleus lateralis externus, laterale Zellgruppe, Nlem Nucleus lateralis externus, mittlere Zellgruppe (vergl. jedoch auch Text p. 119). Ntrspw Endkern der spinalen Trigeminuswurzel. NXII Hypoglossuskern. Oi' Stück der Oliva inferior. R Raphe. tHf tiefes Hinterstrangsfeld (vergl. Text zu Fig. 3). Trspw spinale Trigeminuswurzel.

Fig. 3 (Objekttr. III, Schn. 6) stellt einen Schnitt aus der Medulla oblongata oberhalb der Oeffnung des Zentralkanals dar. Leider ist, wie bereits bemerkt, der distale Teil der Oblongata etwas verstümmelt. Die Pyramide ist daher nicht sichtbar. Die Pyramidenkreuzung der Edentaten ist bis jetzt nur für Dasypus villosus bekannt. Bei dieser Species soll nach Lubosch die Pyramidenbahn teils in den Seiten-, teils in



den Hinterstrang übertreten 1). Ueber das Verhalten von Myrmecophaga kann ich nichts angeben, bei Manis glaube ich mich von einem gemischten Uebergang in Seiten- und Hinterstrang überzeugt zu haben. Die Pyramidenhinterstrangsfasern scheinen größtenteils im Burdachschen Strang zu verlaufen, vielleicht in einem durch Abgabe zahlreicher Bündel in ventraler Richtung ausgezeichneten Gebiet des Burdachschen Stranges, welches dem Hinterhornkopf bezw. dem Endkern der spinalen Trigeminuswurzel unmittelbar anliegt.

Die Oliva inferior besteht auf dem abgebildeten Schnitte aus zwei Massen, einer dorsalen d und einer ventralen v. Die Bezeichnung Oi' ist zu der lateralen Anschwellung der Masse v gesetzt. Die Verfolgung der Serie in spinaler und in cerebraler Richtung ergibt folgendes. Die Masse d tritt zuerst auf und stellt sich bald als ein liegendes, sehr wenig gekrümmtes S dar. Sie wird in ihrem lateralen Teil von der Hypoglossuswurzel durchsetzt. Die Masse erscheint zunächst in Form eines dorsalwärts konkaven,

<sup>1)</sup> Arch. f. mikroskop. Anat., Bd. LIV, p. 549. KÖLLIKER (Cinquent. Soc. de Biol., Sep.-Abdr. p. 13) hat einen Hinterstrangsursprung nicht gefunden.

liegenden Kommas. Der Kopf des Kommas ist die auf der Figur mit 0i' bezeichnete Anschwellung. Der Strich des Kommas zeigt streckenweise eine Duplikatur, so daß ein Hilus zustande kommt. Stellenweise läßt sich übrigens hier die Masse d an ihrem medialen Ende von der Masse v nicht scharf trennen. In proximalen Ebenen krümmt sich der Strich des Kommas an seinem medialen Ende ventralwärts um. Die Masse v nimmt daher jetzt auch eine S-Form an. Auf dem abgebildeten Schnitt ist die Masse d schon stark zusammengeschrumpft; der laterale Teil des S ist fast ganz verschwunden, so daß der Vergleich mit einem Haken näher liegt. Proximal von dem abgebildeten Schnitt nehmen beide Massen sehr rasch an Umfang ab und verschmelzen miteinander. Auf Objekttr. V, Schn. 4 ist der letzte Rest verschwunden.

Für Myrmecophaga kann ich leider, da die Serie in dieser Gegend unvollständig ist, keine Angaben machen. Bei Manis javonica ist die untere Olive ganz anders geformt als bei Orycteropus. Sie bildet hier in den spinalen Ebenen eine kompakte, schräg gestellte etwa eiförmige Masse, welche der Raphe erheblich näher liegt als der Hypoglossuswurzel. Cerebralwärts verzieht sich diese eiförmige Masse zu einer komplizierteren Form, namentlich an ihrem lateralen Pol entwickelt sie einen breiteren dorsalwärts gerichteten Fortsatz. Auch findet sich weniger kompakte graue Substanz noch weiter lateralwärts, also zwischen dem soeben beschriebenen Fortsatz und der Hypoglossuswurzel.

Diese totale Verschiedenheit der Form der Olive bei Manis und Orycteropus 1), nach der üblichen Anschauung also zwei Gattungen derselben Ordnung, ist höchst auffallend. Eine exakte Homologisierung der Massen v und d von Orycteropus mit bestimmten Teilen der Olive von Manis ist schlechterdings nicht möglich. Immerhin liegt es nahe, die Hauptmasse der Olive von Manis mit der Masse v von Orycteropus zu homologisieren. Unter den übrigen Säugetierordnungen finden sich mannigfache ähnliche Bilder. So bietet z. B. Perameles 2) unter den Aplacentaliern Verhältnisse, welche streckenweise sich einigermaßen mit denjenigen von Orycteropus vergleichen lassen: die von mir so genannte Masse a von Perameles würde der Masse v von Orycteropus, die Masse b von Perameles der Masse d von Orycteropus entsprechen. Auf die analogen Formationen der Olive der Insectivoren habe ich früher bereits hingewiesen<sup>3</sup>). Neuerdings habe ich noch eine vollständige Serie des Maulwurf-Gehirns untersuchen können. Die Verhältnisse weichen von den für den Igel geschilderten ein wenig ab, lassen aber doch auch die Hauptmassen in ähnlicher Weise unterscheiden. In den distalsten Ebenen stellt die Olive nämlich ein zackiges, schräg gestelltes Gebilde dar, welches in seinem lateralsten Abschnitt von der Hypoglossuswurzel durchbrochen wird. Daraus entwickelt sich cerebralwärts ein mächtiger grauer Körper, welcher den Zwischenraum zwischen Hypoglossuswurzel (in ihrem ventralen Verlaufsstück), Raphe und Pyramide fast ganz ausfüllt. Streckenweise reicht diese Masse mit einem lateralen Fortsatz noch ziemlich weit über die Hypoglossuswurzel lateralwärts hinaus. Auch ist zeitweilig die mediale Hauptmasse außer Zusammenhang mit dem lateralen Fortsatz. In den proximalsten Ebenen verschmelzen beide wieder zu einer dreieckigen retikulierten grauen Masse, welche dem Pyramidenareal dorsal unmittelbar aufliegt. In der starken Entwicklung der medialen Olivenmasse und dem Mangel fast jeder Fältelung stimmt jedenfalls Talpa mit Erinaceus, Perameles und auch Manis überein. Orycteropus läßt — ähnlich wie z. B. Macropus unter den Marsupialiern — bereits eine Andeutung einer Fältelung in den oben geschilderten S-förmigen Bildungen erkennen. Die außerordentlich schwierige Frage, ob für die beiden Nebenoliven der höchsten Mammalier eine Homologie bei den tiefer stehenden Mammaliern überhaupt existiert, und in welchen Teilen sie etwa zu suchen ist, erscheint mir heute noch nicht spruchreif. Ich

<sup>1)</sup> Die Beschreibung der Olive von Dasypus villosus in der Arbeit von WILLIAMS (p. 135) ist so kurz, daß sie zu einem Vergleich nicht verwertet werden kann.

<sup>2)</sup> Vergl. meine 4. Monographie über das Zentralnervensystem der Monotremen und Marsupialier, Jenaische Denkschr., Bd. VI, 2. Teil, 1908, p. 893.

<sup>3)</sup> L. c. p. 893 u. 894.

möchte nur nochmals meiner bereits vor Jahren geäußerten Ansicht Ausdruck geben, daß in der Oliva inferior der niederen Säuger uns jedenfalls auch die Nebenoliven, wenigstens die mediale, mitgegeben sind 1).

In der Formatio reticularis alba s. medialis finden sich einige Anhäufungen grauer Substanz, welche sich durch ihre relative Kompaktheit von dem umgebenden grauen Maschenwerk abheben. So treten schon auf Objekttr. II, also spinal von dem abgebildeten Schnitt, graue Massen auf, die der Raphe angelagert, zum Teil auch geradezu eingelagert sind. Sie sind größtenteils in dorsoventraler Richtung langgestreckt und im Umriß zackig. Weiterhin breiten sie sich auch lateralwärts bis zur Hypoglossuswurzel aus. Auf dem abgebildeten Schnitt ist das Maximum ihrer Entwicklung längst überschritten. Man sieht nur eine kleine graue, der Raphe etwa an der Grenze des dorsalen und des mittleren Drittels angelagerte graue Masse, die auf der Figur unbezeichnet geblieben ist. Mit dem Nucleus funiculi anterioris von Obersteiner?) haben diese grauen Massen der Formatio reticularis alba medialis schwerlich etwas zu tun, da sie im ganzen erheblich weiter medial liegen. Wohl aber erinnern sie in hohem Maße an den Nucleus centralis von ROLLER<sup>3</sup>), dessen Hauptentwicklung allerdings bei den Primaten erst in proximaleren Ebenen erfolgt. Ich schlage deshalb vor, vorläufig alle diese grauen Massen, also auch die distalen, unter der Rollerschen Bezeichnung zusammenzufassen. Hingegen scheint es mir unzweckmäßig, auch noch den noch viel weiter proximal im Brückengebiet gelegenen Nucleus reticularis tegmenti Bechterews4) mit dem Nucleus centralis inferior zu identifizieren, wie dies von Kölliker 5) und Ramón y Cajal 6) geschehen ist. Ob bei Orycteropus in distalen Ebenen auch ein Nucleus funiculi anterioris (Resto del nucleo interno del asta anterior von R. Y CAJAL) 7) im Sinn von Obersteiner vorkommt, kann ich nicht sagen, da meine Serie nicht weit genug distalwärts reicht.

Wesentlich anders ist eine graue Masse aufzufassen, welche im dorsalsten Teil der Formatio reticularis alba zwischen Raphe und Hypoglossuskern liegt. Streckenweise liegt sie fast ganz frei, auf dem abgebildeten Schnitt ist sie bereits sehr reduziert und mit dem Hypoglossuskern fast verschmolzen. Ich glaube, daß es sich hier um einen echten "medialen akzessorischen Hypoglossuskern" handelt, der vielleicht dem kleinzelligen Rollerschen Hypoglossuskern 8) homolog ist.

Unmittelbar ventral, zum Teil auch ventrolateral vom Hauptkern des N. hypoglossus findet man in lockerem Zusammenhang mit ihm graue Massen, die im wesentlichen lateral von der austretenden Hypoglossuswurzel liegen und sich von der angrenzenden Formatio reticularis lateralis s. grisea nur durch dichteres Maschenwerk einigermaßen abgrenzen. Auf dem abgebildeten Schnitt ist die Entwicklung dieser grauen Masse schon sehr zurückgegangen. Es handelt sich wohl sicher um den akzessorischen Hypo-

<sup>1)</sup> Vergl. zu dieser Frage KÜKENTHAL und ZIEHEN, Zentralnervensystem der Cetaceen, p. 97 und 121. Vor uns hat schon DUVAL sich ähnlich ausgesprochen (Journ. de l'Anat. et de la Phys., 1876, p. 505). Vergl. ferner Ziehen, 2. Monographie über das Zentralnervensystem der Monotr. und Marsup., p. 686; HATSCHEK und SCHLESINGER, Arb. a. d. OBERSTEINERSchen Institut, Heft 9, p. 82; Williams, Arb. a. d. Obersteinerschen Institut, Bd. XVII, Heft 1, p. 118 ff. Die wertvolle Monographie von Pontier (L'olive chez les mammifères, Lille 1900) nimmt leider auf die Nebenoliven nicht ausreichend Rücksicht. Sie müssen bei weiteren vergleichenden Studien jedenfalls in ausgiebigerem Maß mitherangezogen werden. Namentlich möchte ich noch heute daran festhalten, daß die kompakte, nicht gefältelte graue Masse von dreieckiger oder elliptischer Gestalt, welche bei vielen niederen Säugern unmittelbar neben der Raphe liegt, wenigstens zum Teil auch der medialen Nebenolive der Primaten entspricht.

<sup>2)</sup> Anleitung beim Studium des Baues der nerv. Zentralorg., 4. Aufl., Leipzig-Wien 1901, p. 334.
3) Arch. f. mikr. Anat., 1881, Bd. XIX, p. 262. OBERSTEINER hat ihn als N. centralis "inferior" bezeichnet.

<sup>4)</sup> Leitungsbahnen in Gehirn und Rückenmark, Leipzig 1899, p. 125 und 262, sowie Fig. 227. 5) Gewebelehre, 6. Aufl., Leipzig 1893, p. 210. Kölliker schlägt auch die Bezeichnung Nucleus magnocellularis

<sup>6)</sup> Histologia del sistema nervioso de los vertebrados, T. II, p. 22.

<sup>7)</sup> Histologia del sistema nervioso de los vertebrados, T. II, p. 16, u. Fig. 213. 8) ROLLER, Arch. f. mikrosk. Anat., 1881, Bd. XIX, p. 383. Eine kurze Erwähnung findet sich noch Allg. Zeitschr. f. Psychiatrie, 1882, Bd. XXXVIII, p. 231.

glossuskern Duvals<sup>1</sup>) ("noyau antéro-externe ou accessoire"). Ich bezeichne ihn als ventrolateralen akzessorischen Hypoglossuskern, wenn ich auch für ihn den Ursprung von Hypoglossusfasern nicht so bestimmt behaupten kann wie für den medialen Nebenkern.

Große Schwierigkeiten bietet auch bei Orycteropus die Deutung der grauen Massen in der Formatio reticularis lateralis s. grisea, d. h. also vor allem die Identifikation des Nucleus lateralis (s. Nucleus funiculi lateralis) 2) und Nucleus ambiguus. Es finden sich nämlich in dieser Gegend nicht weniger als vier graue Massen, die zum Teil streckenweise noch in zwei oder mehr Unterabteilungen zerfallen. Die auf der Figur mit Nlel bezeichnete Masse kann wohl nur als Nucleus lateralis externus gedeutet werden, und zwar speziell als lateraler Abschnitt dieses Kerns [N. lateralis posterior von Roller 3]. Die mit Nlem bezeichnete Masse deute ich als medialen oder noch besser - im Hinblick auf die unten folgenden Erwägungen - als mittleren Abschnitt desselben Kerns (N. lateralis anterior von Roller). Obersteiner bezeichnet diese Abschnitte des N. lateralis externus als "dorsalen" und "ventralen" Abschnitt. Diese Bezeichnungen würden jedoch nur für die Primaten zutreffen, ich ersetze sie daher durch die Bezeichnungen "lateraler" und "medialer" bezw. "mittlerer" Abschnitt, die für alle Säuger einschließlich des Menschen recht gut passen. Die mit Na bezeichnete Masse könnte als Nucleus lateralis internus oder Nucleus ambiguus (= N. lateralis medius von ROLLER) gedeutet werden. Ich ziehe letztere Deutung vor, da der N. lateralis internus erheblich weiter medial, nicht weit lateral von der Hypoglossuswurzel liegt. Ueberhaupt ist der N. lateralis internus ein auch bei anderen Säugern nur sehr unscharf abgegrenztes Gebilde. Obersteiner 4), der meines Wissens diese Bezeichnung zuerst eingeführt hat, versteht darunter bei dem Menschen die "nie zusammenhängenden" Zellgruppen "lateral neben den Hypoglossuswurzeln". Ich habe bereits an anderer Stelle<sup>5</sup>) darauf hingewiesen, daß der N. lateralis internus größtenteils mit dem akzessorischen Hypoglossuskern Duvals, also dem ventrolateralen akzessorischen Hypoglossuskern meiner obigen Beschreibung, zusammenfällt. Bei Oryeteropus finden sich allerdings auch in größerer Entfernung vom Hypoglossuskern lateral von der Hypoglossuswurzel noch zerstreute graue Massen, aus denen sicher keine Hypoglossusfasern entspringen. Da diese jedoch zum Teil streckenweise der Peripherie ebenso nahe kommen wie der N. lateralis externus, so wäre die Bezeichnung N. lateralis "internus" für diese Massen ganz ungeeignet 6). Ich möchte daher empfehlen, die in Rede stehenden Massen, soweit sie nicht zum ventrolateralen akzessorischen Hypoglossuskern gehören, als medialen Abschnitt des Nucleus lateralis externus zu bezeichnen und die Bezeichnung Nucleus lateralis internus für wirklich im Inneren der Formatio reticularis grisea etwa auftretende dichtere graue Massen (exkl. N. ambiguus und ventrolateraler akzessorischer Hypoglossuskern) zu reservieren. So wird der nachgerade unerträglich gewordenen Verwirrung der Nomenklatur auf diesem Gebiete einigermaßen gesteuert. Man muß nur beachten, daß sowohl bei den Edentaten wie bei anderen Säugern alle diese Gruppierungen nicht nur von Gattung zu Gattung und von Individuum zu Individuum, sondern auch von

<sup>1)</sup> Journ. de l'Anat. et de la Phys., 1876, p. 514, und Comptes rend. Soc. de Biol., p. 12, 1876. Duval faßt seinen akzessorischen Hypoglossuskern mit dem Nucleus ambiguus auch als noyau du faisceau latéral und als noyaux antérieurs zusammen. Diese Bezeichnungen sind höchst verwirrend und ganz überflüssig. Uebrigens ist der bezeichnete Nebenkern bereits von Clarke (Philosoph. Transact., 1868, p. 307) beschrieben, jedoch falsch gedeutet worden. Die Meynertsche Beschreibung akzessorischer Hypoglossuskerne (Strickers Handb. d. Lehre von d. Geweben, 1872, Bd. II, p. 791) ist unklar.

2) Man hat sich allmählich gewöhnt, Nucleus lateralis statt Nucleus funiculi lateralis (Kölliker) zu sagen. Ein ernstes

<sup>2)</sup> Man hat sich allmählich gewöhnt, Nucleus lateralis statt Nucleus funiculi lateralis (KÖLLIKER) zu sagen. Ein ernstes Bedenken gegen diese Abkürzung dürste kaum vorliegen. Vergl. auch Anm. 1. Die älteste Bezeichnung ist die Deansche: "antero-lateral nucleus" (1863).

<sup>3)</sup> Arch. f. mikr. Anat., Bd. XIX, 1881, p 347.

<sup>4)</sup> Nerv. Zentralorgane, 4. Aufl., 1901, p. 337. Uebrigens fügt Obersteiner hinter N. lateralis internus noch nach einem Komma "medius" hinzu.

<sup>5) 4.</sup> Monographie über das Zentralnervensyst. der Monotremen und Marsupialier, p. 799, Anm. 1.

<sup>6)</sup> Es ist dabei zu beachten, daß "internus" hier nicht im Sinne der früheren Terminologie so viel wie "medialis" bedeutet, sondern als "dem Innern, also dem Zentralkanal näher gelegen" zu deuten ist.

Schnitt zu Schnitt recht variabel sind. Auch möchte ich schließlich noch betonen, daß dabei die Frage offen bleibt, ob etwa die der Olive zunächst gelegene Zellgruppe des medialen Abschnittes des N. lateralis externus als dorsale Nebenolive gedeutet werden bezw. der dorsalen Nebenolive der Primaten homolog gesetzt werden könnte. Diese Frage scheint mir noch nicht spruchreif.

Ich unterscheide sonach außer dem ventrolateralen akzessorischen Hypoglossuskern und dem N. ambiguus in der Formatio reticularis grisea folgende Kerne:

- I) N. lateralis internus (etwa im Sinne Obersteiners), meist nicht scharf abgegrenzt, und
- 2) N. lateralis externus,
  - a) Subnucleus lateralis = dorsaler Abschnitt von Obersteiner,
  - b) Subnucleus medius
     c) Subnucleus medialis
     = ventraler Abschnitt von Obersteiner.

Bei dem Menschen ist dieses ganze Gebiet relativ zusammengedrängt, so daß man für den Menschen wohl den Subnucleus medialis und den Subnucleus medialis als Subnucleus medialis zusammenfassen kann. So ist auch Uebereinstimmung mit der Nomenklatur von Kölliker 1) und Yagita 2) hergestellt. Bei dem Kaninchen und der Katze hat Ramón y Cajal 3) 3 Subnuclei unterschieden, deren lateralsten er als "foco oder nucleo lineal" bezeichnet. Ich muß daher dahingestellt sein lassen, ob diese Dreiteilung der Dreiteilung bei Orycteropus homolog ist. Der Kern Nle<sup>1</sup>, der als Homologon des foco lineal in Betracht käme, ist bei Orycteropus meist rundlich und nur auf wenigen Schnitten länglich-lineal.

Auf dem Schnitt meiner Fig. 3 ist übrigens von dem medialen Subnucleus kaum mehr etwas zu sehen. In spinaleren Ebenen war er durch zwei Zellgruppen sehr deutlich vertreten 4).

Ueber den Lateralkern von Myrmecophaga kann ich keine Angaben machen. Bei Manis hebt sich der N. lateralis nicht so scharf als kompakte Masse auf längere Strecken von der Formatio reticularis grisea (lateralis) ab. Auffällig ist bei Manis die starke Entwicklung des lateralen Abschnittes des Hypoglossuskerns (also des "äußeren" Hypoglossuskerns von Meynert). Auf manchen Schnitten entsteht geradezu der Schein, als ob aus diesem lateralen Abschnitt ein besonderes Wurzelbündel entspringt, welches lateral von der Hauptwurzel bleibt. Es handelt sich jedoch wahrscheinlich bei diesem scheinbaren Wurzelbündel um afferente Fasern aus dem Trigeminusgebiet und vielleicht auch Verbindungsfasern zu den Zentren für die Speichelsekretion. Bei der starken Entwicklung und Beweglichkeit der Zunge von Manis sind solche Befunde jedenfalls interessant. Myrmecophaga müßte in dieser Beziehung noch klarere Bilder liefern.

Der Kern der spinalen Trigeminuswurzel und diese selbst bieten bei Orycteropus keine wesentlichen Besonderheiten. Der Zerfall der spinalen Trigeminuswurzel in zwei Schichten, eine äußere dunklere (sog. Zonalbündel) und eine helle innere, wie er bei Echidna und bei Perameles sehr leicht festzustellen ist, fehlt bei Orycteropus vollständig. Die auf der Fig. 3 vorhandenen Tinktionsdifferenzen sind nicht konstant. Der von Draeseke beschriebene Marginalkern der Trigeminuswurzel ist am äußeren Rand des Areals der speziellen Trigeminuswurzel kaum andeutungsweise vorhanden. Der hellere Streifen, welcher auf Fig. 3 hier sichtbar ist, besteht nur zum allerkleinsten Teil aus grauer Substanz. Dagegen bin ich geneigt, den schmalen Streifen grauer Substanz, welcher die spinale Trigeminuswurzel ventral begrenzt,

<sup>1)</sup> Handbuch der Gewebelehre, 6. Aufl., 1893, p. 209.

<sup>2)</sup> Okayama — Igakkwai — Zasshi, 1906, No. 201 Sep.-Abdr., p. 11 u. Fig. 6 (Taf. III). Beim Hund und dem Kaninchen findet Yagita erst 2, dann 5-6 Zellgruppen.

<sup>3)</sup> Histologia del sistema nervioso de los vertebrados, T. II, p. 268, Fig. 344.

<sup>4)</sup> Auch hier muß man sich vor einer Verwechslung hüten, nämlich mit dem lateralen Vorderhornrest, RAMÓN Y CAJALS "resto del nucleo externo del asta ventral" (Hist. d. sist. nerv., T. II, p. 17, Fig. 213).

zum Marginalkern zu rechnen oder wenigstens als ihm homolog zu betrachten. Die mit KS bezeichnete Fasermasse entspricht wahrscheinlich im wesentlichen der Kleinhirnseitenstrangbahn.

Die Hinterstrangskerne sind mir nur bei Manis auch in ihren spinalsten Abschnitten bekannt. Ich beginne daher mit diesem Edentaten. Der Sulcus medianus posterior ist hier sehr deutlich ausgeprägt, der Sulcus intermedius posterior nur streckenweise durch eine Kerbe angedeutet. Der mediane Gollsche Kern fehlt vollkommen. Der laterale Gollsche Kern ist sehr stark entwickelt. Er stellt ein weitverzweigtes Gebilde dar. Er hängt mit dem Processus cuneatus und der Substantia centralis nur durch schmale Balken zusammen, reicht aber dorsalwärts bis zur Rückenmarksperipherie, woselbst es sich zu einer randständigen Platte verbreitert. Schließlich erfüllt er fast das ganze Areal des Gollschen Stranges. Auch der Processus cuneatus (medialer Burdachscher Kern) ist sehr stark entwickelt. Streckenweise nähert er sich der Rückenmarksperipherie bis auf ca. 200 μ (gemessen auf einem Schnitt, dessen dorsoventraler Durchmesser ziemlich genau 5 mm beträgt). Der Zentralteil der grauen Substanz springt dorsalwärts in der Medianebene in der Form eines dreieckigen Zipfels vor, an dessen Spitze sich das Septum medianum posterius anheftet. Dieser Zipfel, der auch als Processus triqueter bezeichnet werden soll und nichts mit dem medianen Gollschen Kern zu tun hat, wird cerebralwärts breiter und reicht schließlich bis zu dem mehr und mehr sich vertiefenden und verbreiternden Sulcus medianus posterior. Dann erfolgt in der gewöhnlichen Weise die Oeffnung des Zentralkanals. In diesen Verhältnissen der Hinterstrangskerne ist wohl das Fehlen des medianen Gollschen Kerns am auffälligsten. Bischoff 1) hat bekanntlich die Vermutung ausgesprochen, daß der mediane Gollsche Kern, den er als akzessorischen Hinterstrangskern bezeichnet, mit der sensiblen Schwanzinnervation betraut sei. Er stützt sich dabei namentlich auf die Tatsache, daß dieser Kern bei schwanzlosen Tieren fehlt, bei geschwänzten vorhanden ist. Das Verhalten von Manis steht hiermit nicht in Einklang. Alle Manis-Arten haben einen sehr langen Schwanz<sup>2</sup>), und trotzdem fehlt der Mediankern. Man könnte vielleicht, um die Bischoffsche Hypothese zu retten, einwenden, daß bei der Schuppendecke des Schwanzes eine sensible Innervation nicht in Betracht komme. Indes ist demgegenüber erstens zu erwägen, daß auch die Extremitäten von Schuppen bedeckt sind und doch die übrigen Hinterstrangskerne sehr stark entwickelt sind, sowie zweitens, daß die für die Hinterstrangskerne namentlich in Betracht kommende kinästhetische Sensibilität sogar bei dem Schwanz von Manis eine sehr große Rolle spielt, da er bei dem Klettern in sehr geschickter Weise zum Greifen benutzt wird (Bericht von Emerson Tennent). Ich möchte daher vorläufig die Bischoffsche Hypothese doch noch nicht akzeptieren und die sehr starke Entwicklung des lateralen Gollschen Kerns (also des gewöhnlich so genannten Gollschen Kerns) mit der starken Entwicklung des Schwanzes bei Manis in Verbindung bringen. Vielleicht spielt der mediane Gollsche Kern nur bei denjenigen Schwanzbewegungen eine Rolle, welche sich innerhalb der Medianebene vollziehen, während die seitlichen (asymmetrischen) Schwanzbewegungen zusammen mit den Bewegungen der Hinterextremitäten im lateralen Gollschen Kern kinästhetisch vertreten sind.

Nach der Oeffnung des Zentralkanals, d. h. cerebral von ihr, streckt der Processus cuneatus bei Manis eine "laterale Zacke" aus, die sich streckenweise sehr dicht an die graue Masse des Trigeminusendkerns anlegt. Der laterale Gollsche Kern bleibt noch längere Zeit recht mächtig und biegt streckenweise fast sichelförmig lateralwärts ab, so daß eine mächtige Clava entsteht. Weiterhin treten im lateralen Teil des Burdachschen Stranges graue Inseln auf, die offenbar dem lateralen Burdachschen Kern entsprechen.

<sup>1)</sup> Jahrb. f. Psychiatrie, Bd. XVIII, 1899, p. 371.

<sup>2)</sup> Eine westafrikanische Art, allerdings nicht die von mir untersuchte, heißt sogar Manis longicaudata. Der Pongolin wird allerdings u. a. auch als Manis brevicaudata bezeichnet, doch bezieht sich diese Bezeichnung nur auf den Gegensatz zu Manis longicaudata; selbst bei Manis brevicaudata ist der Schwanz noch ca. ½ m lang.

Aus diesen grauen Inseln und aus den Resten des lateralen Gollschen Kerns und des medialen Burdachschen Kerns entwickelt sich dann in bekannter Weise der Monakowsche Kern.

Das Hinterstrangskerngebiet von Orycteropus ist mir nur aus dem Niveau oberhalb der Apertura canalis centralis bekannt. Die Verhältnisse gleichen hier denjenigen von Manis in hohem Maße. Die laterale Zacke des Processus cuneatus ist so ausgeprägt, daß man recht wohl von einer streckenweisen gabeligen Teilung des Processus cuneatus, also des medialen Burdachschen Kerns sprechen kann. Der laterale Burdachsche Kern tritt wie bei Manis in Form sehr wechselnd gestalteter, übrigens auch rechts und links keineswegs symmetrisch gebildeter grauer Inseln auf. Auf Fig. 3 sieht man den lateralen Gollschen Kern (nicht bezeichnet) und den sehr mächtigen medialen Burdachschen Kern (NBm). Die laterale Zacke des letzteren ist in diesem Niveau bereits wieder verschwunden. Die hakenförmige Insel grauer Substanz, die oberhalb der spinalen Trigeminuswurzel liegt und mit dem medialen Burdachschen Kern lose zusammenhängt, ist nicht etwa, wie man im Hinblick auf die Karplussche Mitteilung 1) denken könnte, als abgesprengtes Stück des Endkerns der spinalen Trigeminuswurzel und auch nicht als abgesprengtes Stück des Marginalkerns der spinalen Trigeminuswurzel zu betrachten, sondern gehört zum lateralen Burdachschen Kern, wie durch die weitere Verfolgung der Serie sichergestellt wird.

Ueber das Hinterstrangskerngebiet von Myrmecophaga kann ich nichts mitteilen.

Schließlich bedarf noch das Gebiet des dorsalen Vaguskerns einer kurzen Schilderung. Man kann bei Orycteropus ebenso, wie ich es z. B. für Perameles beschrieben habe, 3 Subnuclei unterscheiden, einen dorsalen kleinzelligen, der streckenweise knopfartig vorspringt, einen ventralen großzelligen und einen ventrolateralen, welcher mit dem Endkern des Fasciculus solitarius identisch ist. Infolge der starken Differenzierung der Schnitte konnte ich allerdings die Zellen nicht genauer untersuchen. Die Fasergebiete, welche in dieser Gegend in Betracht kommen, sind folgende:

- 1) das Nischenfeld (Fig. 3 Nf) zwischen dem Hypoglossuskern und dem dorsalen Vaguskern,
- 2) der Fasciculus solitarius (auf Fig. 3 nicht bezeichnet), unmittelbar dorsolateral von dem Nischenfeld, nur durch einen Zipfel des dorsalen Vaguskerns von ihm getrennt, und
- 3) das tiefe Hinterstrangsfeld [Fig. 3  $tHf^2$ )], welches wahrscheinlich Fasern enthält, welche aus dem Hinterstrang in die Hinterstrangskerne eingedrungen sind und sich alsdann wahrscheinlich nach Ganglienzellenunterbrechung bündelweise ventral vom Hinterstrangskerngebiet wieder sammeln.

Bei Manis finde ich ganz analoge Verhältnisse.

Fig. 4 (Objekttr. VIII, Schn. 7) stellt einen Schnitt dar, welcher bereits erheblich oberhalb des Niveaus des Hypoglossuskerns liegt.

Die Pyramidenbahn stellt ein sehr mächtiges Feld dar, welches jedoch den ventralen Kontur nur relativ wenig vorwölbt. Sie besteht fast ausschließlich aus feinen Fasern, welche bei der Palschen Färbung mehr grau als schwarz erscheinen. Die Fissura mediana anterior ist sehr seicht, in ihrem Grund werden die beiden Pyramidenbahnen ziemlich scharf durch die sich verbreiternde Raphe getrennt. Man hat übrigens den Eindruck, daß aus dem Pyramidenareal einige Fasern zur Raphe aufsteigen und sich

121

<sup>1)</sup> Arbeiten aus dem Obersteinerschen Institut, Bd. XI, p. 171. Ich habe dieser interessanten Mitteilung nur noch hinzuzufügen, daß auch innerhalb des Processus cuneatus ausnahmsweise "abgesprengte" Stücke sogenannter gelatinöser Substanz vorkommen.

<sup>2)</sup> Die Bezeichnung ist zum ventralen Teil des Feldes gesetzt.

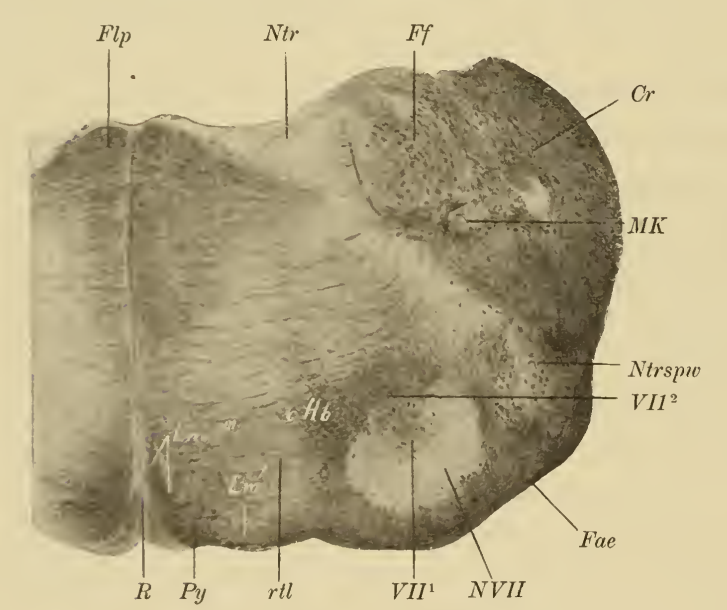
vielleicht in der Raphe kreuzen. Daß tatsächlich das ganze blasse 1), auf der Figur mit Py bezeichnete Areal zu der Pyramidenbahn gehört, ergibt sich aus der weiteren Verfolgung der Serie mit aller Bestimmtheit. Auf den ersten Blick hätte man auch an die mediale Schleife denken können.

Dorsal von der Pyramidenbahn liegt die mediale Schleife (*Lm*). Sie hebt sich durch ihre intensive Schwarzfärbung von der blassen Pyramidenbahn ziemlich schart ab. Man kann im Areal der medialen Schleife mehrere Abschnitte unterscheiden, so namentlich:

- I) einen der Raphe angelehnten medialen Abschnitt, der rechts auf der Figur durch eine Gefäßlücke lateral ungefähr begrenzt wird  $(Lm^m)$ , und
  - 2) einen mächtigen lateralen Abschnitt<sup>2</sup>), welcher sich lateralwärts bandartig verjüngt (Lm<sup>l</sup>).

Zwischen dem medialen und dem lateralen Abschnitt liegen einige quergeschnittene Bündel, welche gewissermaßen ein "Verbindungsstück" der beiden Abschnitte darstellen  $(Lm^{v})$ .

Zwischen der Pyramide und  $Lm^m$  zieht sich transversal ein nicht ganz kompakter grauer Körper q hin, der gerade auf dem abgebildeten Schnitt weniger deutlich ausgeprägt ist. Medialwärts hängt er mit



der Raphe zusammen, die sich hier kreuzartig in zwei Seitenzipfel auszieht  $^3$ ), lateralwärts schwillt er erheblich an und fließt mit dem diffusen Grau der Haube zusammen. Er liegt hier ventral von  $Lm^r$ .

Fig. 4. Querschnitt durch die Medulla oblongata von Orycteropus (Objekttr. VIII, Schn. 7). Palsche Färbung. Vergrößerung knapp 7: 1. Cr Corpus restiforme, Fae Fibrae arcuatae externae, Ff Formatio fasciculata, Flp Fasciculus longitudinalis posterior, Lm Lemniscus medialis, MK Rest des Monakowschen Kernes, Ntr Nucleus triangularis, Ntrspw Nucleus tractus spinalis trigemini, R Raphe, rul siehe Text, VII¹ Bündelchen, die aus dem Facialiskern entspringen, VII² dieselben Bündel zum Kernschenkel der Facialis sich sammelnd, NVII Facialiskern.

Die in großer Zahl die ventrale Peripherie des Schnittes umsäumenden, aus dem Corpus restiforme stammenden Fibrae arcuatae externae senken sich

zum Teil in das Pyramidenareal ein, teils treten sie in den Körper q ein und kreuzen über die Mittellinie, zum Teil enden sie vielleicht auch in der Raphe. In distaleren Ebenen sind die Kreuzungen der Fibrae arcuatae externae in der Raphe viel zahlreicher.

Vergleichend-anatomisch bieten diese Befunde ein ungewöhnliches Interesse. Die beiden Schleifenabschnitte sind von Hatschek bei verschiedenen Säugetieren genauer untersucht worden, und Hatschek bist zu dem Ergebnis gekommen, daß die lateralen Teile der medialen Schleife bei Tieren mit relativ stärker fungierenden Vorderextremitäten, die medialen Teile bei Tieren mit relativ stärker fungierenden Hinterextremitäten besser ausgeprägt sind. Ich kann diesen Satz im wesentlichen bestätigen. Bei Orycteropus sind die Vorder- und Hinterextremitäten etwa gleich entwickelt, und dementsprechend sind, wie z. B. auch bei vielen Carnivoren, die medialen und die lateralen Abschnitte der medialen Schleife etwa gleich mächtig. Hatschek hat auch bereits darauf hingewiesen, daß diese Tatsache damit im Einklang steht, daß Lm<sup>m</sup> vor-

<sup>1)</sup> Auf der Figur tritt die blasse Färbung des Areals nicht deutlich genug hervor.

<sup>2)</sup> Auf der Figur ist auch dieser Teil nicht bezeichnet. Er nimmt fast die ganze Vorbuchtung lateral von der Pyramide ein.

<sup>3)</sup> Diese "Crux raphes" kehrt bei vielen Säugern wieder.
4) Arbeiten aus dem Neurol. Institut a. d. Wiener Univ., Bd. XI, p. 128.

zugsweise aus dem Gollschen Kern, dessen Beziehung zu den Hinterextremitäten unzweifelhaft ist,  $Lm^l$  hingegen vorzugsweise aus dem Burdachschen Kern, dessen Beziehung zu den Vorderextremitäten ebenfalls sichergestellt ist, stammt. Für *Oryeteropus* (und übrigens auch viele andere Säuger) kann man noch hinzufügen, daß  $Lm^m$  vorwiegend aus den medialsten Fibrae arcuatae internae,  $Lm^l$  vorwiegend aus lateraleren Fibrae arcuatae internae, vielleicht zum Teil auch aus Fibrae arcuatae externae 1) hervorgeht.

Ein Nucleus arciformis ist kaum andeutungsweise vorhanden.

Lateralwärts schließt sich an das Schleifengebiet, allerdings zugleich etwas weiter dorsal gelegen, eine nicht sehr bestimmt abgegrenzte graue Masse an, welche auf Fig. 4 mit rtl bezeichnet ist. Die Deutung dieser Masse begegnet den größten Schwierigkeiten. Mit dem System des Nucleus lateralis und mit der Oliva superior und dem Trapezkern hat sie sicher nichts zu tun. Spinalwärts geht sie in das dorsal von der Oliva inferior gelegene Grau über. Cerebralwärts streckt sie für eine kurze Strecke einen Zipfel gegen den Facialiskern hin aus und verschwindet dann in dem retikulierten Grau der Haube. Sie hängt dabei mit dem Nucleus reticularis tegmenti zusammen. Ich finde auch in der Literatur keine bestimmten Hinweise auf einen grauen Kern in dieser Gegend. Sie fehlt jedoch bei keinem der mir bekannten Mammalier ganz. Selbst bei dem Menschen ist sie vorhanden und z. B. auch auf dem Marburgschen Atlas, Fig. 24 und 25 (auf Fig. 24 genau dorsal von der Oliva inferior) gezeichnet. Sie lediglich als einen Adnex des Nucleus reticularis tegmenti zu deuten, trage ich Bedenken, da der Nucleus reticularis tegmenti erst in proximaleren Ebenen gut entwickelt ist und die in Rede stehende Masse hier ganz selbständig auftritt. Ich lasse es daher einstweilen bei der Buchstabenbezeichnung rtl bewenden.

Das quergeschnittene Faserfeld, welches ventral von rtl und dorsal von den Fibrae arcuatae externae liegt, bedarf ebenfalls noch der Aufklärung. Seine Zugehörigkeit zu  $Lm^l$  erscheint mir sicher.

Noch weiter lateral liegt der Facialiskern (N VII), dessen mächtige Entwicklung sich schon aus der Figur ergibt. Sein erstes Auftreten fällt auf Objekttr. V, Schn. 4, und zwar erscheint hier zuerst der lateralste Teil. Ein Zerfall in mehrere Unterkerne ist nirgends deutlich ausgeprägt. Die auf der Figur sehr auffällige Halbmondform wird dadurch vorgetäuscht, daß sich im dorsomedialen Teil die Bündel des Ursprungsschenkels (Kernschenkels) des Facialis dichter ansammeln und das Kerngrau durchbrechen. Tatsächlich ist der Kern schief-oval; immerhin mag das Grau in den dorsomedialen Teilen — der Einbuchtung des Halbmondes entsprechend — etwas weniger dicht sein.

Das quergeschnittene Faserfeld, welches sich zwischen rtl und den Facialiskern von der dorsalen Seite einschiebt und sich durch seine intensive Färbung abhebt, ist die sogenannte zentrale Hauben-bahn. Die Deutung dieser letzteren ist bekanntlich noch ziemlich unsicher. Bei Orycteropus läßt sie sich spinalwärts bequem bis zu dem lateralen Rand der unteren Olive verfolgen. Ob sie daselbst entsprechend der üblichen Annahme mit der letzteren in Verbindung tritt, entzieht sich dem exakten Nachweis.

Nicht leicht zu deuten sind auch die Bündel, welche den Facialiskern ventral im Halbkreis umgeben. Man würde bei einem Vergleich mit den üblichen Darstellungen der Lehrbücher<sup>2</sup>) in erster Linie an den sogenannten Tractus spinotectalis und spinothalamicus und an das Gowerssche Bündel denken können. Das Monakowsche Bündel (Tractus rubrospinalis) liegt weiter lateral (siehe unten). Ich muß jedoch bemerken, daß der Tractus spinotectalis und der Tractus spinothalamicus vorläufig noch viel hypothetischer sind, als es nach der Darstellung mancher Lehrbücher scheinen könnte. Auch bei Orycteropus kann von einer einiger-

I) Wie wohl allgemein üblich, beziehe ich die Bezeichnung extern und intern auf die Oliva inferior, nicht auf die Pyramide. Da indes die Oliva inferior hier bereits verschwunden ist, so bleibt als Kriterium für die Bezeichnung "extern" nur die Lage an der Peripherie im Bereich der Gegend, welche früher die Oliva einnahm.

maßen sicheren Verfolgung und Abgrenzung der bezüglichen Bündel auf grötbere Strecken nicht die Rede sein.

Zwischen dem Kern der spinalen Trigeminuswurzel (Nrspw) und dem Fascialiskern ist das Monakowsche Bündel (Tractus rubrospinalis) zu suchen. Dasselbe ist jedoch weniger scharf abgegrenzt als bei vielen anderen Säugern. Insbesondere hebt sich auch der ventrale Teil der spinalen Trigeminuswurzel keineswegs ganz bestimmt von den benachbarten Systemen ab. Bezüglich der etwaigen Homologie mit den Zonalbündeln von Ethidma muß ich auf meine 4. Monographie über das Zentralnervensystem der Aplacentalier verweisen.

Der Trigeminusrandkern (DRAESEKE) ist nur andeutungsweise vorhanden.

Im dorsalen Gebiet des Schnittes liegt der Mittellinie zunächst der Nucleus triangularis. Die hellere Stelle, an welcher der Bezeichnungsstrich zufällig endigt, entspricht einem stärkeren Blutgefäß. Lateral schließt sich die Formatio fasciculata (spinale Acusticuswurzel) an. Sehr merkwürdig ist eine Ganglienzellengruppe, welche an der ventrolateralen Ecke der Formatio fasciculata liegt. Es handelt sich um einen letzten Rest des Monakowschen Kerns. Zu demseiben gehört wahrscheinlich auch die weiter lateral gelegene, auffällig helle grane Masse.

Zwischen dem Corpus restiforme (Cr) und der Formatio fasciculata (F7) liegen Wurzelbündel des Acusticus, und zwar der Vestibularwurzel. Das Faserbündel am medialen Rand der Formatio fasciculata zieht aus dem dorsolateralen Teil des Nucleus triangularis zunächst ventrolateroventralwärts!) wendet sich dann ventral von der Formatio fasciculata in ziemlich scharfen Bogen lateralwärts und gelangt, vielleicht nach einer Unterbrechung in MK. in das Corpus restiforme. Es scheint sich sonach um eine Vestibularbahn zweiter Ordnung zu handeln. Bemerkenswert sind auch die zahlreichen Fasern, welche aus dem medialen Abschnitt des Nucleus triangularis ventralwärts ziehen und sich größtenteils in die Formatio reticularis medialis, vielleicht zum Teil auch im Kern mit verlieren.

Eine auch nur einigermaßen sichere Abgrenzung des Prädorsalbündels, also der rentrifugalen Vierbügelvorderstrangbahn von dem hinteren Längsbündel gelingt nicht.

Die Raphekreuzung vollzieht sich in diesem Niveau in sehr diffusen Bündeln.

Die Verhältnisse bei Myrmecophaga gleichen denjenigen bei Orycheropus in hohem Maß. Das Pyramidenareal ist wie bei Orycheropus sehr groß und erscheint relativ blaß. Die Teilung der medialen Schleife in zwei Abschnitte ist nur angedeutet. Der Facialiskern läßt ebensowenig wie bei Orycheropus schaff begrennte Unterkerne erkennen. — Manis zeigt in einer Beziehung eine äußerst interessante Abweichung: es findet sich eine proximale Pyramidenkreuzung außer der schon erwähnten distalen, welche außerordentlich mächtig ist und ganz der von Draesere!) bei Chitopteren beschriebenen gleicht. Bei Manis liegt diese Kreuzung unmittelbar distal von dem Corpus trapezoides. Sie ist mächtiger als die distale Kreuzung und betrifft Pyramidenfasern, die spinal von der Kreuzung weit lateral von der Oliva inferior an der ventralen Peripherie liegen und sonach unmittelbar in den Seitenstrang übergeben.

Der auf Fig. 5 abgehildere Schnitt (Objekttr. XIX, Schn. 2) fällt bereits in das Brückengebiet. Auf der Zuschenschnitten zwischen diesem und dem auf Fig. 4 dargestellten Schnitt liegt das Maximum der

Leb gestatte mit, diese rusammengesetzen Bereich umgen nach Analogie der Bereichnungen für Windrichtungen, um die Ver dassiehung mig eine erzeit anzugeben.

Entwicklung der oberen Olive und des Trapezkörpers. Beide bieten keine wesentlichen Besonderheiten. Die obere Olive liegt bei ihrem ersten Auftreten (X, 3) ventral vom medialen Abschnitt des Facialiskerns. Letzterer verschwindet dann sehr rasch. Schon auf XI, 3 ist er kaum mehr zu erkennen. Die Hauptmasse der oberen Olive hat die Form einer liegenden medialwärts offenen Schleife, deren ventraler Ast erheblich länger ist als der dorsale. An das mediale Ende des ventralen Astes schließt sich noch eine weitere Zellanhäufung, die man als Nebenkern der oberen Olive bezeichnen könnte. Das Corpus trapezoides enthält zwei sehr starke und dichte Kernmassen, die ich als medialen und lateralen Trapezkern (a und b) bezeichne. Beide hängen nur vorübergehend zusammen. Bemerkenswert ist auch das Auftreten einer Kernmasse am ventralen Saum des Monakowschen Bündels, medial von dem Austrittsschenkel des Facialis.

Ich muß dahingestellt lassen, ob es sich um einen dritten Trapezkern handelt. Ich bezeichne ihn als c. Der Austritt des Facialis erfolgt durchaus medial von der spinalen Trigeminuswurzel. Die erste Ueberkreuzung der Mittellinie durch Ponsfasern findet auf Objekttr. XVI statt. Der Austritt des Abducens erfolgt unmittelbar am hinteren Ponsrand, aber im wesentlichen schon intrapontin. Seine Fasern verlaufen medial von dem medialen Trapezkern (a). Auf XVI, 2 sind die Trapezkerne a und b und die obere Olive samt Nebenkern bereits völlig verschwunden, und die Kerne des Brückengraues tauchen eben auf. Der Kern e wandelt sich auf Objekttr. XV ziemlich plötzlich um. An Stelle seiner ziemlich kompakten Zellanhäufung tritt ein zartes graues Maschenwerk, das sich ventralwärts zu einer schmaleren, aber kompakteren, dorsalwärts zu einer dickeren, aber lockereren grauen Platte verdichtet. Die ventrale Platte hängt weiterhin mit dem Brückengrau zusammen. In dem Maschenwerk zwischen den beiden Platten sind zahlreiche Fasern eingebettet, welche zum kleinsten Teil zur lateralen Schleife gehören, größtenteils aber wohl zum Monakowschen Bündel zu rechnen sind.

Auf dem Schnitt, welchen Fig. 5 darstellt, ist das Brückensystem schon mächtig entwickelt. Man

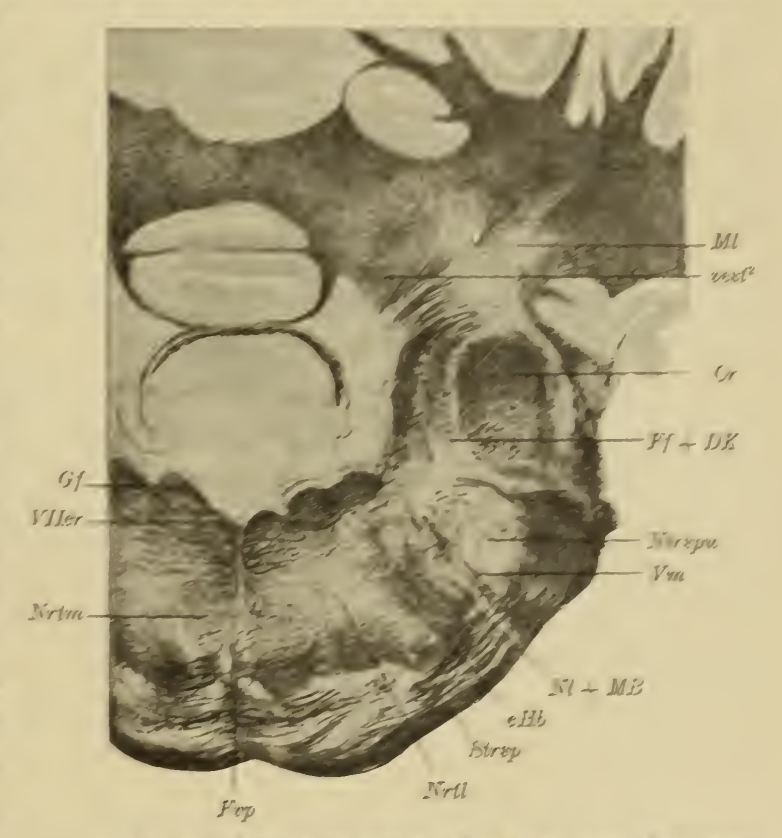


Fig. 5. Querschnitt durch die Brücke von Orysteropus Objektir. XIX, Schn. 2. Palsche Färbung. Vergr cz. 4:1. 'Ho zentrale Haubenbahn. Or Corpus restriorme. Ff + DK Formatio fasciculata und Daurenbacher Kern. Firp Fasciculus verncalis pounts. Of Hauptknie des Facialis. MI Massa grisea lateralis cerebe n. Nrth. Nucleus reticularis tegmenti, mediale und laterale Actallung. NI + MB Nucleus lacinistus und Monanowsches Bindel. I rapu sensibler Trigeminushauptkern. Srap Stratum superficiale pounts. vest? Vestibulariasern zweiter Ordnung. Vm motorische Trigeminuswurzel. VII er gekreuzte Facialiswurzel.

kann ohne Schwierigkeit ein Stratum superficiale (Strsp) und ein Stratum complexum unterscheiden. Ein Stratum profundum ist nur angedeutet. Die Pyramidenbahn liegt fast ganz dorsal von der Brüchenhreuzung. Einzelne Faserbündel, welche das Pyramidenareal durchziehen, sind vielleicht noch als verspätete Trapezbündel aufzufassen (siehe unten). In der Medianebene, also von der Raphe aus durchbricht der sogenannte Fasciculus verticalis pontis (Frp) die tiefe Brückenfaserung, um sich ventralwärts pinselförmig zu verbreiten. Dieser Fasciculus verticalis ist von dem "aufsteigenden Bogenbündel" (4. Monogr. über das Zentralnervensystem der Monotr. und Marsup., p. 114) wohl zu unterscheiden. Ob letzteres über aupt bei Orycteropus vorhanden ist, ist mir zweifelhaft. Die am gleichen Ort von mir beschriebenen Fibrae perforantes

welche aus den dorsalen Haubenabschnitten kommen, die mediale Schleife durchsetzen und in die Brückenformation eintreten, sind in spärlicher Zahl vorhanden.

Das Brückengrau läßt wie bei vielen Säugern einen dorsalen medianen und beiderseits je einen dorsalen lateralen Vorsprung erkennen (medianer und lateraler Brückenzapfen). Der mediane Zapfen ist unpaarig, auf der Figur erscheint er nur deshalb paarig, weil er vom Fasciculus verticalis durchsetzt wird. Als lateralen Zapfen bezeichne ich den allerdings bei *Orycteropus* relativ schwach entwickelten und wenig kompakten Fortsatz, welcher die gesamte Schleifenmasse lateral begrenzt und von mir wegen seiner zipfelförmigen Gestalt auch als Nucleus laciniatus beschrieben worden ist (z. B. 4. Monogr., p. 19). Er hängt nicht nur mit dem Brückengrau, sondern stellenweise auch mit dem Kern c (s. oben) zusammen.

Der Trapezkörper ist hier schon fast ganz verschwunden. Einzelne Bündel, welche das Pyramidenareal durchqueren, sind vielleicht noch zu ihm zu rechnen. Das Maximum seiner Entwicklung lag auf Objekttr. XIV und XV. Seine Bündel durchsetzten dort in dichten Massen sowohl das Pyramidenwie das Schleifenareal und umgürteten zum Teil die Pyramide auch an ihrer ventralen Fläche. Spinalwärts grenzten die Trapezfasern unmittelbar an die proximalsten Fibrae arcuatae externae.

Die mediale Schleife zerfällt noch immer in ihre beiden Hauptabschnitte. Der mediale Abschnitt ist namentlich gegen seine laterale Grenze hin in graues Maschenwerk eingebettet (Nucleus lemnisci medialis). Der laterale Abschnitt ist nicht scharf begrenzt.

Die laterale Schleife stellt ein sehr ausgedehntes und kompliziertes Gebilde dar, welches fast den ganzen Raum zwischen dem Nucleus laciniatus und der medialen Schleife einnimmt. Wie die Figur ergibt, sind zwei graue Massen in dies langgestreckte Areal eingebettet (auf der Figur 21 bezw. 23 mm von der Raphe entfernt), in welchen man die erste Anlage des Kerns der lateralen Schleife zu erblicken hat. Mit der oberen Olive und den Trapezkernen hängen sie nicht kontinuierlich zusammen.

Zwischen der spinalen Trigeminuswurzel und dem Nucleus laciniatus schickt sich bereits die motorische Trigeminuswurzel zum Austritt an (Vm).

Auch die sensible Trigeminuswurzel ist bereits im Austritt begriffen. Dieser liegt dem hinteren (distalen) Ponsrand erheblich näher als dem vorderen (proximalen).

Die zentrale Haubenbahn (cHb) findet sich noch ungefähr an derselben Stelle. Sie läßt sich von dem Monakowschen Bündel nicht ganz scharf abgrenzen.

Das Gowerssche Bündel wäre etwa außen von der lateralen Schleife zu suchen; ich habe es jedoch nicht mit Sicherheit identifizieren können.

Dorsal von der zentralen Haubenbahn liegt ein Zellhaufen, der auf der Figur nicht bezeichnet ist. Es handelt sich um einen lateralen abgesprengten Teil des motorischen Hauptkerns des Trigeminus; der größere Teil dieses Kerns liegt etwas weiter lateral.

Der Acusticuseintritt liegt distal von dem abgebildeten Schnitt. Derselbe bietet keine interessanten Besonderheiten. Wie bei allen Säugern beginnt der Eintritt des Ramus cochlearis in spinaleren Ebenen als derjenige des Ramus vestibularis. Auf zahlreichen Schnitten sind eintretende Fasern beider Aeste getroffen. Das Tuberculum acusticum und seine Sekundärbahn ist sehr stark entwickelt. Cochlearisfasern, welche das Corpus restiforme durchbrechen (wie bei den Monotremen), fehlen. Auf dem Schnitt der Fig. 5 ist das Corpus restiforme (Cr) bereits an die Seitenwand des 4. Ventrikels gelangt. Medial von ihm liegt noch ein Rest der Formatio fasciculata und des Deitersschen bezw. Rauberschen Kerns. Dann folgen medialwärts die im Bogen herabsteigenden Cochlearisfasern zweiter Ordnung. Die cerebellare Vestibularisbahn zweiter Ordnung gelangt erst in proximaleren Ebenen zur Formatio fasciculata. Medialwärts von den

Cochlearisfasern zweiter Ordnung liegt unmittelbar an der Ventrikeloberfläche noch etwas Grau, welches als medialer Rest des Tuberculum acusticum aufgefaßt werden kann.

Im Boden des 4. Ventrikels bemerkt man 3 Erhebungen. Die medialste entspricht dem hinteren Längsbündel und ist nicht bezeichnet. Die mittlere (Gf) entspricht dem Facialisknie. Die laterale entsteht durch einen sehr merkwürdigen Verlauf des Austrittsschenkels des Facialis. Nachdem nämlich die Facialisfasern im Knie eine kurze Strecke wie gewöhnlich in longitudinaler Richtung proximalwärts verlaufen sind, wenden sie sich nicht mit einer einfachen winkligen Umbiegung ventrolateralwärts, um den Austrittsschenkel zu bilden, sondern sie ziehen fast schraubenförmig lateralwärts und bilden hier lateral vom Facialisknie gewissermaßen nochmals einen Längsschenkel, in welchem die Fasern jetzt aber distalwärts ziehen. Der Querschnitt dieses zweiten Längsschenkels bedingt die laterale der 3 Erhebungen. Nach sehr kurzem Verlauf in dem zweiten Längsschenkel wenden sich die Fasern erst lateroventrolateral und dann ventrolateral, um nunmehr in üblicher Weise in den Austrittsschenkel überzugehen.

Man gewinnt übrigens durchaus den Eindruck, daß ein starkes Faserbündel (VIIcr auf Fig. 5) sowohl aus dem ersten wie aus dem zweiten Längsschenkel zur Raphe absteigt und hier kreuzt. Es liegt sehr nahe, zu vermuten, daß es sich um Fasern handelt, die aus dem gekreuzten Facialiskern stammen. Duval<sup>1</sup>), Kölliker<sup>2</sup>) u. a. haben einen solchen gekreuzten Ursprung einzelner Facialiswurzelfasern bekanntlich bestritten, während Obersteiner 3) solche Fasern anerkennt. Der letztere führt auch die ältere Literatur (bis 1901) an. Seitdem hat TRICOMI-ALLEGRA 4) an Kaninchen und Katzen Versuche angestellt und glaubt für diese Tiere einen gekreuzten Wurzelursprung bestreiten zu müssen. Zu demselben Ergebnis kommt Van Gehuchten 5) bezüglich des Kaninchens. Für das Huhn wird der gekreuzte Ursprung von Kosaka und Hiraiwa 6) bestritten. Ich halte vorläufig bei vielen Säugern und speziell auch bei Orycteropus einen partiellen gekreuzten Ursprung für sehr wahrscheinlich.

Die grauen Massen im Zentrum der Haube lassen sich abgesehen von einer merklichen Verbreiterung der Raphe in zwei Hauptgruppen teilen. Die mediale entspricht dem Nucleus reticularis tegmenti, die laterale enthält genau dieselben großen Zellen, kann also wohl als laterale Abteilung des Nucleus reticularis tegmenti bezeichnet werden. Von der letzteren zieht sich ein sehr dichtes graues Maschenwerk bis zum Kern der lateralen Schleife hin.

Im Kleinhirn ist die Massa grisea lateralis?) außerordentlich mächtig. Streckenweise läßt sich innerhalb derselben sehr gut ein Nucleus paramedialis und ein Nucleus lateralis abgrenzen. Der Nucleus medialis (Dachkern) ist relativ schwach entwickelt. Die mit vest 2 bezeichneten Fasern lassen sich größtenteils weiterhin bis zum Deitersschen bezw. Bechterewschen Kern verfolgen und sind daher als Vestibularfasern 2. Ordnung zu deuten.

Fig. 6 stellt einen Schnitt aus den proximalen Brückenebenen dar (Objekttr. XXXII, Schn. 3). Die Ponsfaserung ist schon sehr reduziert. Das Pyramidenbahnareal liegt nach wie vor dorsal von der Querfaserung des Pons. Die Raphe zerfällt in 4 Abschnitte: der dorsalste (R1) enthält zahlreiche Kreuzungen (s. u.), der folgende (R2) ist sehr faserarm, der dritte (R3) ist durch den Reichtum an vertikal verlaufenden Bündeln ausgezeichnet, der ventralste fällt in das Brückengrau und ist kaum noch zur Raphe zu rechnen.

<sup>1)</sup> Journ. de l'Anat. et de la Phys., 1876, l. c.

<sup>2)</sup> KÖLLIKER, Handb. d. Gewebelehre, 1893, p. 278.

<sup>3)</sup> Nerv. Zentralorg., 4. Aufl., 1901, p. 487.
4) Resoconti R. Acc. Pelor. Mess., 1906, u. Festschrift für Prof. ZIINO.

<sup>5)</sup> Névraxe, T. V, p. 263. 6) Jahrb. f. Psychiatrie u. Neurol., Bd. XXV, p. 57.

<sup>7)</sup> Vergl. mein Handb. d. Gehirnanat., p. 549.

Das hintere Längsbündel hat anscheinend an Faserzahl zugenommen. Schwer zu deuten ist das Areal quergeschnittener Nervenfasern, welches sich lateral an das hintere Längsbündel anschließt. Auch in der einschlägigen Literatur hat es noch wenig Beachtung gefunden. Jedenfalls handelt es sich um Bündel, die weit spinalwärts reichen und nur vorübergehend durch das Facialisknie von dem Ventrikelboden abgedrängt worden waren. Ich bezeichne diese Bündel einstweilen wie in einer früheren Monographie als laterale Randbündel (lRb). Vielleicht gehören sie zur sensiblen Trigeminusbahn. Auch an die übrigens noch sehr unklare Brückenvorderstrangsbahn von Probst 1) könnte gedacht werden.

Das mit cHb bezeichnete Feld deute ich als die zentrale Haubenbahn. Nach der Lage könnte man sehr wohl auch an das sogenannte laterale Haubenbündel und an das dorsolaterale Haubenfeld Obersteiners denken. Bezüglich dieser beiden letztgenannten Bahnen herrscht nun allerdings noch die größte Unklarheit. Ich hoffe an anderer Stelle auf diese Fasergebiete zurückkommen zu können.

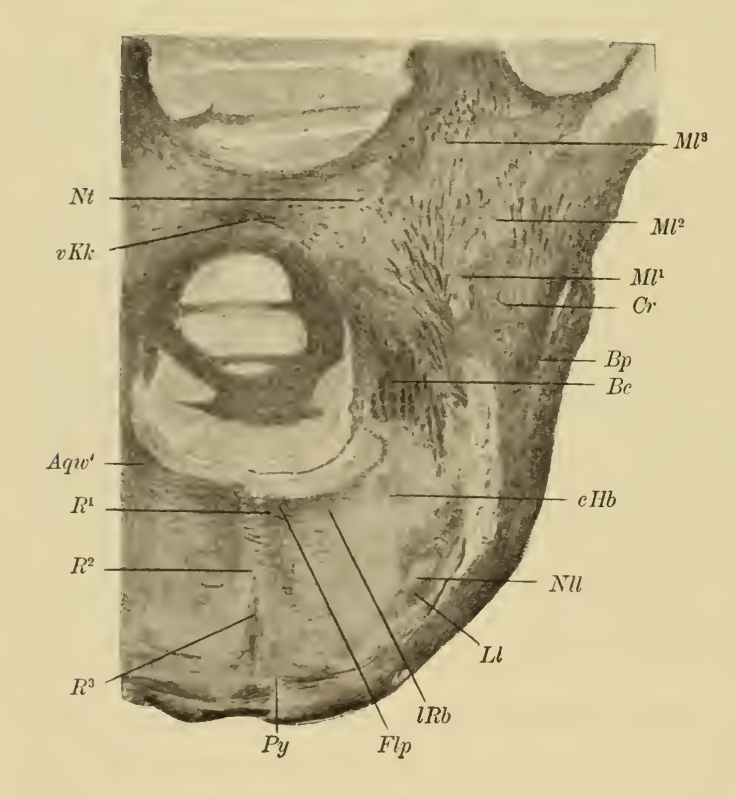


Fig. 6. Querschnitt durch die Brücke von *Oryeteropus* in ihrem proximalen Abschnitt (Objekttr. XXII, Schn. 3). Palsche Färbung. Vergr. reichlich 4:1. Aqw' 1. Neuron der Aquäduktwurzel des Trigeminus. Be Bindearm. Bp Brückenarm. eHb Zentrale Haubenbahn (siehe jedoch auch Text). Cr Corpus restiforme. Flp hinteres Längsbündel. lRb laterale Randbündel. Ll Lemniscus lateralis.  $Ml^1$ ,  $Ml^2$ ,  $Ml^3$  Massa lateralis cerebelli (siehe auch Text). Nll Nucleus lemnisci lateralis. Nt Dachkern. Py Pyramidenbahn.  $R^1$ ,  $R^2$ ,  $R^3$  Raphe (siehe auch Text). vKk vordere Kreuzungskommissur des Kleinhirns.

Das Gebiet der lateralen Schleife und des Monakowschen Bündels zeigt keine erhebliche Umgestaltung.

Aus der Gegend der nicht bezeichneten Aquäduktwurzel des Trigeminus ziehen zahlreiche Fasern (Aqw') ventrolateralwärts und gelangen bis zur Raphe. Ich vermute, daß es sich um das zentrale Neuron der Aquäduktwurzel des Trigeminus handelt. Der Zutritt der Aquäduktwurzelfasern selbst zum Trigeminusstamm ist bereits in distaleren Ebenen erfolgt. Ich bin über-

haupt mehr und mehr geneigt, die Kreuzung im dorsalen Teil der Raphe in diesem Niveau als eine motorische Trigeminuskreuzung des ersten Neurons zu betrachten. Gerade bei Orycteropus sieht man auch zahlreiche Fasern aus dieser Raphekreuzung dem motorischen Trigeminuskern zustreben.

Im Kleinhirngebiet ist jetzt der Bindearmquerschnitt schon vollständig formiert (Be). Das Gowerssche Bündel, der mediale Kleinhirnstiel Weidenreichs und das sogenannte direkte Kleinhirnbündel des Trigeminus lassen sich nicht mit Sicherheit identifizieren. Das Corpus restiforme (Cr) bleibt noch lange an seiner medialen Seite von einigen Bündeln der Formatio fasciculata begleitet (direktes Kleinhirnbündel des Vestibularis??). Der Brückenarm ist schon sehr reduziert. Die Massa lateralis zerfällt in 3 übrigens vielfach zusammenhängende graue Massen, welche ich, um nichts zu präjudizieren als  $Ml_1$ ,  $Ml_2$  und  $Ml_3$ 

<sup>1)</sup> Deutsche Zeitschr. f. Nervenheilk., Bd. XV, p. 207, u. Bd. XVII, p. 164; Arch. f. Psychiatrie, Bd. XXXIII, p. 50 u. 83; Arch. f. Anat. u. Phys., 1902, Anat. Abt., Suppl.-Heft, p. 151. Uebrigens scheint mir die Darstellung von Probst selbst durchaus nicht klar und widerspruchsfrei.

bezeichnet habe. Der Nucleus tecti ist jetzt sehr deutlich ausgeprägt (Nt), ebenso die sogenannte vordere Kreuzungskommissur.

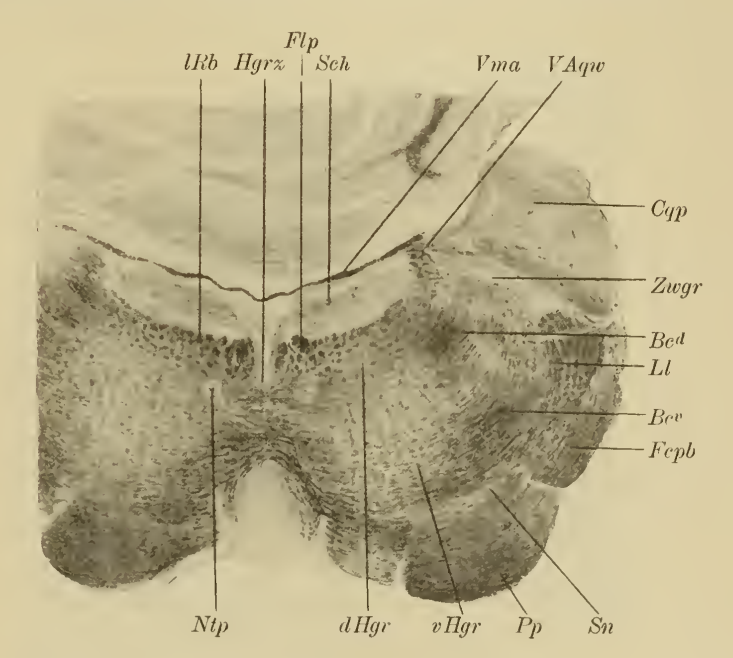
Fig. 7 (Objekttr. XLV, Schn. 3) stellt einen Schnitt dar, welcher bereits etwas vor der vorderen Ponsgrenze liegt.

Beiderseits hat sich bereits das Fußfeld formiert (*Pp*). Die Substantia nigra ist nur eben angedeutet (*Sn*). Zwischen den beiden Fußarealen ist das Ggl. interpedunculare eingeschoben. Die starke Faserkreuzung oberhalb desselben ist sehr bemerkenswert. Ich habe in meiner letzten Monographie über das Zentralnervensystem der Aplacentalier die Haubenkreuzungen des Brücken- und Mittelhirngebiets etwas ausführlicher erörtert. Danach ist die in Rede stehende Kreuzung als "Hatscheksche Kreuzung" zu bezeichnen ("ventrale Haubenkommissur" von Hatschek). Die Herkunft ihrer Fasern ist nicht leicht zu bestimmen. Die meisten treten in leichtem Bogen direkt in das Haubengebiet ein, einige Bündel gelangen zwar in das Fußareal, lassen sich aber in einem größeren Bogen schließlich durch dasselbe wieder bis in

die Haube zurück verfolgen. Nur für die ventralsten (innersten) Bündel muß ich die Möglichkeit eines Verbleibens im Fußareal offen lassen. Das endgültige Schicksal der Fasern, die in die Haube gelangen, ist nach beiden Richtungen ganz unsicher. Eine Beziehung zu dem Monakowschen Bündel erscheint mir auch bei *Orycteropus* nicht ausgeschlossen.

129

Fig. 7. Querschnitt durch das distalste Hirnschenkelgebiet von Oryeteropus (Objekttr. XLV, Schn. 3). Palsche Färbung. Vergr. knapp  $5 \frac{1}{2}$ : I.  $Be^d$ ,  $Be^v$  Bindearm, dorsaler bezw. ventraler Anteil. Cqp hinterer Vierhügel (eben angeschnitten). dHgr dorsales Haubengrau. Flp hinteres Längsbündel. Fepb Fasern zum Corpus parabigeminum. Hgrx medianer Zapfen des Höhlengraues. Ll Lemniscus lateralis. lRb laterale Randbündel. Ntp Nucleus tegmenti profundus. Pp Pes pedunculi. Sn Substantia nigra. Seh Schützsche Fasern. vHgr ventrales Haubengrau. Vma Velum medullare anticum. Zwgr siehe Text. VAqw Aquäduktwurzel des Trigeminus.



Der Bindearm hat sich, wie bei so vielen Säugern, in einen ventralen und einen dorsalen Arm geteilt ( $Be^{r}$  und  $Be^{d}$ ). Seine Fasern gehen bereits mehr und mehr in die Querrichtung über.

Ventrolateral vom hinteren Längsbündel (Flp) liegt beiderseits der Nucleus tegmenti profundus. Seine Verbindung mit dem Fasciculus tegmentomamillaris ist nur mit Wahrscheinlichkeit nachzuweisen.

Lateral vom Fasciculus longitudinalis posterior liegen Querschnitte, welche wohl zu den lateralen Randbündeln zu rechnen sind. Zwischen das rechte und linke hintere Längsbündel senkt sich jetzt in der bekannten Weise zapfenartig ein Fortsatz des Höhlengraues ein (Hgrz). Die unmittelbar ventral von diesem Zapfen gelegenen Raphekreuzungen rechne ich noch zu dem Rapheabschnitt  $R^1$  der Fig. 6 und deute sie daher als zentrale Kreuzung der Aquäduktwurzel des Trigeminus.

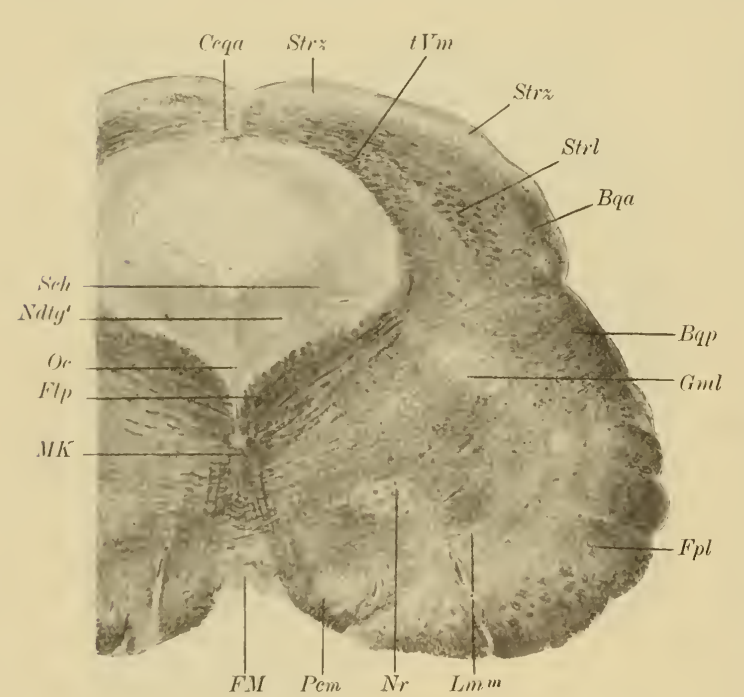
In dem netzförmigen Haubengrau hebt sich ventral von den lateralen Randbündeln eine etwas dichtere Anhäufung grauer Substanz ab, welche auf der Figur mit dHgr bezeichnet ist (dorsales Haubengrau). Sie kehrt auch bei anderen Säugern wieder. Ueber ihre Bedeutung vermag ich zurzeit nichts anzugeben. Außerordentlich stark entwickelt ist das mittlere und ventrale Haubengrau (vHgr). Aus demselben ziehen zahllose Faserbündelchen dorsomedialwärts in das Höhlengrau. Sie winden sich dabei zwischen den Bündeln des Fasciculus longitudinalis posterior und der lateralen Randbündel hindurch.

Jenaische Denkschriften. XV.

Im Höhlengrau selbst fällt die äußerst starke Entwicklung der Schützschen Fasern auf (Sch). Die bogenförmig aus dem medialen Teil des Höhlengraues (Nucleus tegmenti dorsalis) durch den Zapfen des Höhlengraues absteigenden Fasern rechne ich zum Ganserschen Bündel.

Das Corpus parabigeminum ist gut entwickelt, auf dem abgebildeten Schnitt allerdings kaum mehr zu erkennen. Es steht sowohl mit den ventralen Haubenabschnitten wie mit dem hinteren Vierhügelgrau durch dichte Faserbündel in Verbindung. Zu denselben rechne ich auch die mit *Fcpb* bezeichneten Fasern. Die laterale Schleife bildet jetzt ein unregelmäßig elliptisches Feld. Ihr Kern ist bereits verschwunden.

Etwas zu wenig Beachtung hat seither das mit Zwgr bezeichnete Grau gefunden, obwohl es bei allen Säugern zu finden ist. Es zieht sich von der Aquäduktwurzel des Trigeminus bis zur seitlichen Peripherie hin. Auf distaleren Schnitten ist der Bindearm in dasselbe eingebettet. Auch wird es von der



sehr gut entwickelten Hirnklappenschleife durchzogen. Proximalwärts geht es in die Area parabigemina MINGAZZINIS über.

Der auf **Fig. 8** dargestellte Schnitt (Objekttr. LXX, Schn. 1) fällt bereits in das Vordervierhügelgebiet. Ich beschränke mich im folgenden auf die Hervorhebung derjenigen Tatsachen, welche irgendwelche Besonderheiten darbieten.

Fig. 8. Querschnitt durch die Vordervierhügelregion von Orycteropus (Objekttr. LXX, Schn. 1). Vergr. knapp 6: 1. Palsche Färbung. Bqa Vordervierhügelarm. Bqp Hintervierhügelarm. Ceqa Commissura corp. quadr. ant. FM MEYNERTsches Bündel (rechts und links von dem Strich). Flp hinteres Längsbündel. Fpl Fasciculi pontini laterales. Gml Ganglion mesencephali laterale. Lmm medialer Abschnitt der Lemniscus medialis. MK fontänenartige MEYNERTsche Kreuzung. Ndtg' siehe Text. Nr Nucleus ruber. Oe Nachzügler der Oculomotoriuswurzel. Pem Pedunculus corporis mamillaris. Strl Stratum lemnisci. Strx Stratum zonale des vorderen Vierhügels. Seh siehe Text. tVm tiefes Vierhügelmark.

Zwischen den beiden Hirnschenkelfüßen liegt unmittelbar medial von der Substantia nigra zunächst der Pedunculus corporis mamillaris (Pcm). Dann folgt medialwärts die Anlage des Fasciculus retroflexus (der Bezeichnungsstrich endet zwischen dem rechten und linken Fasciculus retroflexus). Der Pedunculus corporis mamillaris bezieht vor allem zahlreiche Fasern aus der Substantia nigra, doch fehlen auch Fasern nicht, welche ihm von den medialen Teilen des dorsalen Haubenabschnittes durch das Areal der medialen Schleife hindurch zufließen. Von der Oculomotoriuswurzel finden sich nur noch einige Nachzüglerfasern. Vom roten Kern findet sich rechts noch ein stattlicher Rest.

In der Raphe kann man hier folgende Kreuzungen unterscheiden. Unmittelbar unter dem ventromedianen Zapfen des Höhlengraues, welcher hier schon sehr schmal geworden ist, liegt die Kreuzung der
Vierhügelvorderstrangbahn (fontänenartige Kreuzung Meynerts). Ventral von dieser folgt der Rest der
Bindearmkreuzung. Eine scharfe Grenze läßt sich hier zwischen den beiden Kreuzungen nicht ziehen.
Ventral von der Bindearmkreuzung folgt das Grau der Substantia perforata posterior, dem rechts und links
der Meynertsche Fasciculus retroflexus angelagert ist.

Sehr bemerkenswert ist die mit *Gml* bezeichnete graue Masse im dorsolateralen Haubenabschnitt. Ich bin geneigt, sie als Ganglion mesencephali laterale zu deuten. Allerdings ist dieses nur bei

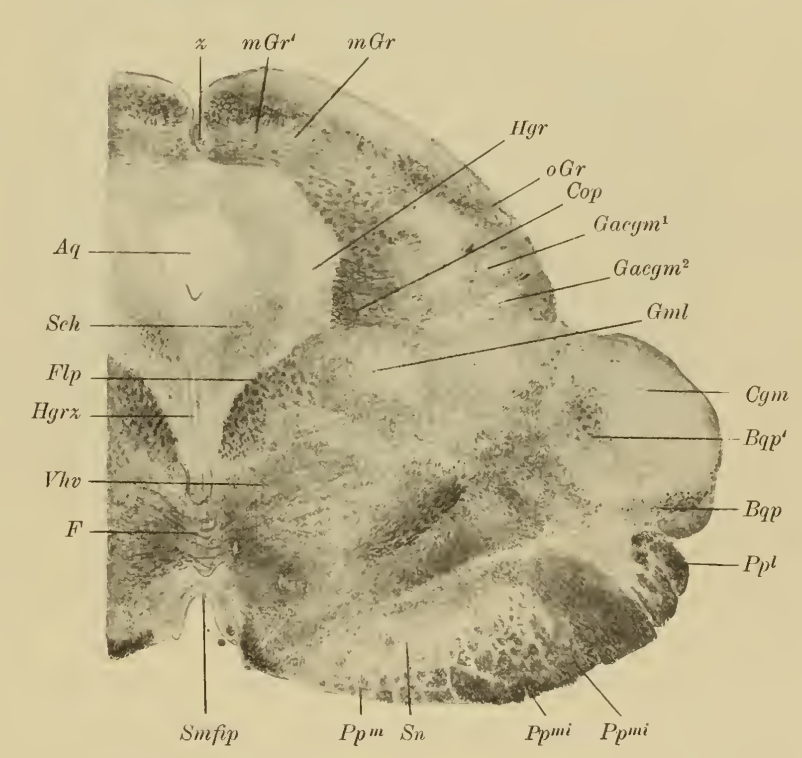
wenigen anderen Säugern so scharf abgegrenzt, so groß und so kompakt wie hier bei *Orycteropus*. Sein erstes Auftreten fällt auf Objekttr. LXVI, Schn. 2<sup>1</sup>). Der Kern der lateralen Schleife, der übrigens viel weiter lateral liegt, ist schon auf Objekttr. XLV im Verschwinden begriffen. Proximalwärts löst sich das G. mesenc. laterale bei *Orycteropus* sehr bald in eine unbestimmt begrenzte graue Masse auf, die sich vom lateralen Haubengrau kaum mehr abhebt. Eine Beziehung zu der Vierhügelvorderstrangbahn ist sehr unwahrscheinlich; manche Bilder weisen auf einen Zusammenhang mit den Radiärfasern des Höhlengraues hin.

Das Faserareal, welches ventromedial von dem Ganglion mesencephali laterale liegt und auf Fig. 8 unbezeichnet geblieben ist, ist vielleicht als Fortsetzung der zentralen Haubenbahn aufzufassen.

Sehr kompliziert hat sich das Verhalten der medialen Schleife gestaltet. Der mediale Teil der medialen Schleife [bei  $Lm^m$ ?)] liegt noch der Substantia nigra auf, der laterale Teil  $(Lm^l)$  liegt lateral von dem Ganglion mesencephali laterale und steht im Begriff, sich in die Schleifenschicht des vorderen Vierhügels (Strl) aufzulösen. Wie weit sich hier etwa auch der Tractus spinotectalis einschiebt, muß ich dahingestellt lassen. Die Brücke, welche früher  $Lm^m$  und  $Lm^l$  verband, ist jetzt verschwunden. Zeitweise — auf distaleren Schnitten — konnte man ein merkwürdiges Faserbündel beobachten, welches sich zwischen beiden Teilen

der medialen Schleife hindurchdrängte. Es entspringt aus einer leidlich scharf abgegrenzten Zellanhäufung der Substantia nigra und steigt in etwas gewundenen, dorsalwärts mehr und mehr konvergierenden Bündelchen in fast rein dorsaler Richtung auf.

Fig. 9. Querschnitt durch die Vordervierhügelregion von Orycteropus im Bereich des Corpus geniculatum mediale (Objekttr. LXXVIII, Schn. 1). PAL'sche Färbung. Vergrößerung reichlich 6:1. Aq Aquaeductus, Bqp Hintervierhügelarm, Bqp' seine tiefen Fasern. Cym Corpus geniculatum mediale. Cop Bündel für die hintere Kommissur. F Forelsche Haubenkreuzung. Flp hinteres Längsbündel.  $Gaegm^1$ ,  $Gaegm^2$  Ggl. accessorium corporis geniculati medialis. Gml Ggl. mesencephali laterale. Hgrx ventromedianer Zapfen des Höhlengraues. Hgr Höhlengrau. mGr mittleres Vierhügelgrau. mGr' siehe Text. oGr oberflächliches Vierhügelgrau.  $Pp^m$  medialste,  $Pp^{mi}$  mittlere,  $Pp^l$  lateralste Fußbündel. Smfip Sulcus medianus fossae interpeduncularis. Sch siehe Text zu Fig. 8. Vhv Vierhügelvorderstrangbahn. z siehe Text.



Im {lateralen ventralen Teil der Substantia nigra liegen zerstreute Bündelquerschnitte, die wohl als Fasciculi pontini laterales aufzufassen sind.

Die beiden Vierhügelarme (Bqa, Bqp) bieten keine wesentlichen Abweichungen. Im Aufbau des vorderen Vierhügels ist das starke Stratum zonale (Strz, oberflächliche Markschicht) bemerkenswert.

Die im Höhlengrau sich abhebende graue Masse Ndtg' entspricht dem gleich bezeichneten Kern des Marburgschen Atlas (Fig. 31—33). Sehr auffällig ist die starke Faseranhäufung bei Sch.

Fig. 9 stellt einen Schnitt (Objekttr. LXXVIII, Schn. 1) dar, welcher noch immer in die Vordervierhügelgegend fällt, aber gegenüber dem auf Fig. 8 abgebildeten einige wesentliche Umgestaltungen zeigt.

<sup>1)</sup> Von Objekttr. LVIII ab enthält jeder Objektträger nur 2 Schnitte.

<sup>2)</sup> Der Bezeichnungsstrich müßte 2 mm höher hinauf reichen.

Ueber dem Sulcus medianus fossae interpeduncularis (*Smfip*) enthält das Grau der Substantia perforata posterior ziemlich zahlreiche quergeschnittene und einige bogenförmig verlaufende transversale Fasern. Dorsalwärts folgt dann die sehr mächtige Forelsche Haubenkreuzung (*F*).

Der ventromediane Zapfen des Höhlengraues (*Hyrz*) ist sehr mächtig geworden. Er enthält noch einzelne dorsoventral verlaufende Fasern, die vielleicht noch dem Oculomotoriusursprung aus dem mittelzelligen Mediankern zuzurechnen sind. Der Fasciculus longitudinalis posterior hat an Mächtigkeit schon etwas eingebüßt.

Lateralwärts von ihm liegen die "lateralen" Randbündel. Ventral von diesen sieht man einen grobmaschigen Kern, der wohl als Ganglion mesencephali dorsale gedeutet werden kann.

Der Pedunculus corporis mamillaris (unbezeichnet) befindet sich noch etwa an derselben Stelle. Der Fasciculus retroflexus (gleichfalls unbezeichnet) ist schon etwas dorsalwärts gerückt. Man erkennt ihn leicht an dem ihn begleitenden Grau (auf der Figur II mm lateral von der Medianebene im Bereich der Substantia perf. post.).

Das Faserareal Vhv scheint wenigstens zum Teil der Vierhügelvorderstrangbahn (Prädorsalbündel) anzugehören.

Das Ggl. mesencephali laterale ist nicht mehr scharf abgegrenzt. Proximalwärts geht es zum Teil vielleicht auch in den Darkschewitschen Kern über.

Im Fuß (Pp) fällt die fortschreitende Zerklüftung durch ein Netzwerk grauer Substanz auf. Bemerkenswert ist außerdem die eigentümliche Gestaltung des Fußfeldes zwischen dem lateralsten Fußabschnitt (Pp') und dem mittleren Fußabschnitt (Pp''). Es erstreckt sich hier mit einem breiten Zipfel ungewöhnlich weit dorsalwärts. Ein solcher vorspringender Zipfel findet sich auch auf distaleren Schnitten, aber erst in diesem Niveau hat er so große Dimensionen angenommen. Die Verfolgung der Serie ergibt, daß es sich namentlich um einen Faserzuwachs aus den lateralen Haubenabschnitten handelt.

Am Seitenrand ist das Corpus geniculatum mediale aufgetreten. Wie bei allen Säugern ist es von einer Markkapsel umkleidet. Von dem Hintervierhügelarm sind auch tiefe Bündel sichtbar (Bqp'). Die graue Masse, welche dorsomedial vom Corpus geniculatum mediale schon im Bereich des vorderen Vierhügels liegt und durch sehr verworrene Faserzüge in mehrere Inseln zerfällt ( $Gacgm^1$ ,  $Gacgm^2$ ), würde nach der recht unzweckmäßigen neuerdings vorgeschlagenen Nomenklatur als Ganglion accessorium corporis geniculati medialis zu bezeichnen sein.

Der Sulcus medianus corpp. quadr. ist hier scharf und schmal. In seinem Grund wird durch zwei gabelartig divergierende Blutgefäße ein zapfenartiger Teil der Vierhügelkommissur in sehr charakteristischer Weise abgegrenzt (bei z). Das mittlere Vierhügelgrau enthält bei mGr' auch ziemlich zahlreiche längsgeschnittene, der Vierhügelkommissur zustrebende Fasern.

Fig. 10 (Objekttr. LXXXIX, Schn. 2) stellt einen Schnitt dar, welcher durch die vordersten Ebenen der vorderen Vierhügel fällt.

Das Meynertsche Bündel mit seinem begleitenden Grau hat sich bereits dem Höhlengrau genähert. Der Aquädukt steht bei Aq' schon im Begriff, sich in den 3. Ventrikel zu öffnen. Die Raphe enthält noch immer sehr zahlreiche feine, dorsoventralwärts verlaufende Fasern. Der Fasciculus longitudinalis posterior ist noch weiter zusammengeschrumpft.

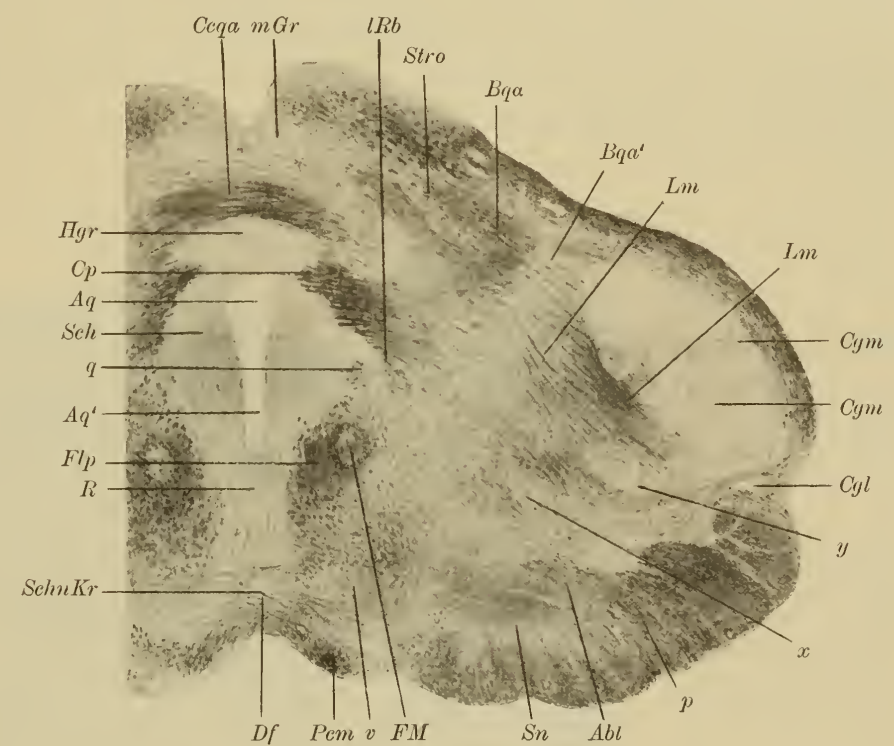
Sehr ungewöhnlich ist das Bild der Bündelquerschnitte q im seitlichen Teil des Höhlengraues. Es könnte sich um abgesprengte Bündelchen des Fasciculus retroflexus handeln, der etwa 10 Schnitte weiter an derselben Stelle das seitliche Höhlengrau durchquert, um zum Ganglion habenulae zu gelangen. Andererseits sprechen manche Bilder dafür, daß es sich wenigstens zum Teil um Faserbündel handelt,

welche zu den ziemlich großen Ganglienzellen des seitlichen Höhlengraues (Teil des Nucleus commissurae posterioris?) in Beziehung stehen.

Die mit lRb bezeichneten Fasern fasse ich als laterale Randbündel auf.

Zwischen den beiden Pedunculi corporis mamillaris vollzieht sich eine massenhafte fast rechtwinklige Kreuzung  $[Df^1]$ . Um das Bild richtig zu verstehen, empfiehlt sich etwa ein Vergleich mit Fig. 627 des Köllikerschen Handbuches der Gewebelehre (Kaninchen). Ich nehme an, daß es sich zum Teil bereits um die Decussatio fornicis im Köllikerschen Sinne handelt, zum Teil aber auch um eine Kreuzung der Fasern der Pedunculi corporis mamillaris selbst. Die flachen Kreuzungen oberhalb Df sind sicher als Schnopfhagensche Kreuzung aufzufassen  $^2$ ). Das mit v bezeichnete Grau ist in seiner Bedeutung noch nicht bekannt.

Fig. 10. Querschnitt durch den vordersten Teil der Vierhügelregion von Orycteropus (Objekttr. LXXIX, Schn. 2). Palsche Färbung. Vergrößerung 6:1. Aq Aquädukt. Aq' Uebergang des Aquäduktes in den 3. Ventrikel. Abl Ablegerfeld des Fußes. Bqa Vordervierhügelarm (Bqa' tiefe Fasern). Ceqa Commissura corpp. quadr. ant. Cgl Corpus geniculatum laterale (hinterer Zipfel). Cgm Corpus geniculatum Cp Commissura posterior. Df Decussatio fornicis (besser Commissura supramamillaris) Flp hinteres Längsbündel. FM MEYNERTsches Bündel. Hyr Höhlengrau. Lm Lemniscus medialis. lRb laterale Randbündel. Pem Pedunculus corporis mamillaris. mGr mittleres Vordervierhügelgrau (darüber Stratum opticum). R Raphe. SchnKr Schnopfhagensche Kreuzung. Sn Substantia nigra. Stro Structum opticum. p, q, x, y, v siehe Text. Sch siehe Text zu Fig. 8.



Das Feld der Substantia nigra erscheint außerordentlich reduziert (Sn). Aus den medialen und mittleren Abschnitten des Fußes ziehen sehr zahlreiche, zum Teil auch sehr starke Bündel allenthalben dorsalwärts und formieren ein ausgedehntes Faserfeld, welches sich oberhalb der Substantia nigra bis zu deren medialen Pol erstreckt<sup>3</sup>). Ich kenne keine anderen Säuger, bei welchen diese Bildung so auffällig hervortritt. Vergleicht man die Mächtigkeit des Fußareals vor und nach diesem Faserabgang, so ist es kaum zweifelhaft, daß die bezügliche Faserauswanderung in proximaler Richtung stattfindet. Ich will das so entstandene Areal als Ablegerfeld des Fußes bezeichnen. Bei p geht dasselbe unmittelbar in den oben beschriebenen vorspringenden Zipfel des Fußfeldes über.

Das Corpus geniculatum mediale ist noch erheblich größer geworden. Die mit Cgl bezeichnete graue Masse hängt, wie die weitere Verfolgung der Serie ergibt, mit dem Corpus geniculatum laterale zusammen. Die beiden Kerne x und y finden sich auch bei anderen Säugern und lassen sich bis in das Thalamusgebiet verfolgen.

<sup>1)</sup> Ueber diese Kreuzung und ihre Terminologie verweise ich auf meine 4. Monographie über das Zentralnervensystem der Aplacentalier, p. 825.

<sup>2)</sup> Der Bezeichnungsstrich müßte ca. 2 mm tiefer enden.

<sup>3)</sup> Auf der Figur erscheint es durch ein Gefäß unterbrochen.

Die Fasern bei Lm gehören größtenteils der medialen Schleife an.

Im Vordervierhügel hebt sich jetzt das Stratum opticum sehr deutlich ab. Das Stratum lemnisci ist nur noch in den seitlichen Teilen stark entwickelt. Aus dem Stratum opticum entwickelt sich schon der Vordervierhügelarm.

Fig. II (Objekttr. IlC, Schn. I) stellt einen Schnitt dar, welcher dorsal die hintere Kommissur, basal das Corpus mamillare schneidet.

Die Commissura posterior ist jetzt in der gewöhnlichen Weise zum Durchbruch gekommen. Die ersten Fasern haben bereits auf Objekttr. XC die Mittellinie überschritten, und zwar innerhalb der grauen Vierhügelkommissur. Der Hohlraum unterhalb Cp auf Fig. 11 ist bereits zum 3. Ventrikel zu rechnen. Seit Objekttr. XCV ist auch die Commissura media (oberhalb VIII) in den Schnitt gefallen. Die Herkunft der Fasern der Commissura posterior ist auch bei Orycteropus sehr schwer mit Sicherheit zu bestimmen. Mit Bestimmtheit vermag ich nur zu sagen, daß keinesfalls alle Fasern derselben aus dem sogenannten Nucleus commissurae posterioris stammen.

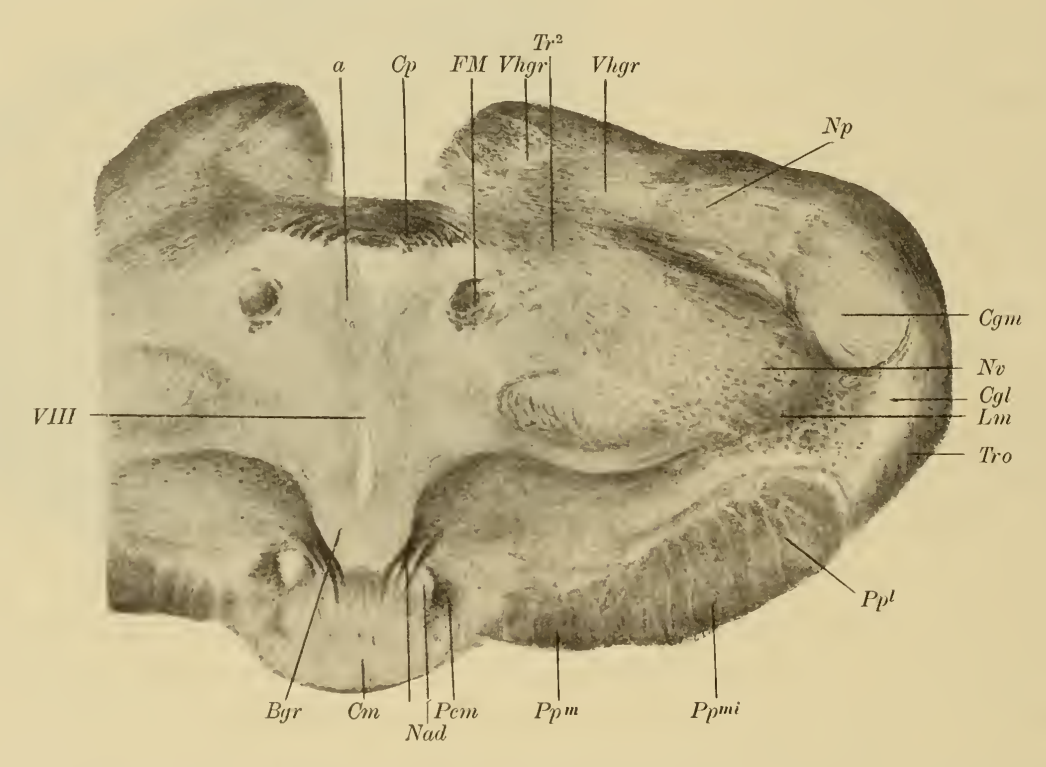


Fig. 11. Querschnitt durch die Mamillarregion von Oryeteropus (Objekttr. IIC, Schn. 1). Palsche Färbung. Vergr. 6:1. a siehe Text. Byr Bodengrau des Ventrikels. Cyl Corpus geniculatum laterale. Cym Corpus geniculatum mediale. Cm Corpus mamillare. Cp Commissura posterior. FM Fasciculus retroflexus. Nad Nucleus accessorius dorsalis corporis mamillaris. Np Nucleus posterior, Nr Nucleus ventralis thalami. Pem Pedunculus corporis mamillaris. Pp Pes Pedunculi. Tr² sekundäre sensible Trigeminusbahn. Tro Tractus opticus. Vhgr Vordervierhügelgrau. V III dritter Ventrikel, basaler Abschnitt.

Die Commissura media enthält hier noch fast gar keine Transversalfasern. In der Seitenwand des Ventrikels verlaufen in dorsoventraler Richtung zahlreiche Fasern, welche wahrscheinlich mit den zahlreichen und ziemlich großen Ganglienzellen bei a in Verbindung stehen. Basalwärts enden sie in dem Bodengrau (Bgr) des 3. Ventrikels. Das Meynertsche Bündel ist mitten in das Höhlengrau eingebettet.

Das Corpus mamillare (Cm) läßt keine Spur einer Medianfurche erkennen. Es ist von einer sehr gut entwickelten Markkapsel überzogen. Die Fasern dieser Kapsel sind an der Basalfläche des Corpus mamillare größtenteils quer getroffen. Zahlreiche, wohl größtenteils aus dem Fasciculus princeps stammende Faserbündel durchsetzen das Corpus mamillare in annähernd senkrechter Richtung und senken sich zum

Teil in die Markkapsel ein. Den mit Nad bezeichneten auffällig hellen Kern fasse ich als akzessorisches Mamillarganglion auf (Nucleus accessorius dorsalis). Es ist vielleicht mit dem von Kölliker¹) für die Maus angegebenen Kern identisch. Ich bezeichne ihn als Nucleus accessorius dorsalis, weil Kölliker bekanntlich bei dem Menschen auch einen Nucleus accessorius an der ventralen Peripherie beschrieben hat²). Mit dem Nucleus limitans ("foco limitante") von Ramón y Cajal³), welcher das Ganglion mamillare mediale an seiner vorderen oberen Fläche bekleiden soll, hat er wohl nichts zu tun. Das Ganglion laterale liegt unmittelbar ventral von dem Pedunculus corporis mamillaris (Pcm) und ist auf der Figur nicht bezeichnet (der Bezeichnungsstrich Pcm führt durch dasselbe hindurch). Es ist relativ stark entwickelt. An der Basis, und zwar an der Grenze des Ganglion mediale und des Ganglion laterale findet sich auch ein kleiner Nucleus accessorius ventralis (nicht bezeichnet); links ist er besser entwickelt als rechts. Lateral vom Pedunculus corporis mamillaris liegt das Grau des Pedamentum laterale.

Der Ursprung des Fasciculus princeps aus dem Corpus mamillare, und zwar aus dem Ganglion mediale, verhält sich wie bei den meisten Säugern. Die Verfolgung des Fasciculus tegmentomamillaris gestaltet sich außerordentlich schwierig. Die Fasern des Fasciculus princeps, welche auf Fig. 11 sichtbar sind, gehören größtenteils dem Fasciculus thalamomamillaris (also dem Vicq d'Azyrschen Bündel) an. Der letztere scheint unmittelbar in das Feld  $H^1$  von Forel überzugehen. Tatsächlich passiert er dasselbe nur. Dabei soll nicht ausgeschlossen werden, daß er einzelne Fasern an dasselbe abgibt.

Der dem Fuß parallel laufende Faserstreifen kann wohl nur als das Feld  $H^2$  von Forel gedeutet werden. Es bezieht seine Fasern zu einem großen Teil aus den den lateralen Pol des Hirnschenkelfußes umkreisenden Stillingschen Fasern. Oberhalb des medialsten Fußabschnittes  $(Pp^m)$  liegt noch ein kleiner Rest der Substantia nigra. Der graue Streifen zwischen dem Fuß und  $H^2$  ist das Corpus Luysii, die graue Masse dorsal von  $H^2$  wäre als Zona incerta zu bezeichnen  $^4$ ).

Das Corpus geniculatum laterale (*Cyl*) steht hier schon in Verbindung mit dem Tractus opticus (*Tro*). Das Corpus geniculatum mediale ist von der sehr mächtigen Faserung des letzteren ganz in die Tiefe gedrängt worden. Medialwärts vom Corpus geniculatum mediale liegt an der Thalamusoberfläche der Nucleus posterior thalami optici. Die mit *Vhgr* bezeichneten Massen stellen Reste des Vierhügelgraues dar.

An das Feld  $H^1$  schließt sich die Lamina medullaris externa thalami an. Der schalenförmige Kern, welcher dorsal von der letzteren liegt, erinnert einigermaßen an den Nucleus arcuatus höherer Säuger (vergl. z. B. Fig. 37 des Marburgschen Atlas). Indes ist der Begriff dieses Nucleus arcuatus vergleichendanatomisch noch so unsicher, daß von einer bestimmten Verwendung noch nicht die Rede sein kann  $^5$ ). Für die große Kernmasse, welche sich dorsal an diesen zweifelhaften Nucleus arcuatus anschließt, kommt wohl nur die Homologie mit dem Nucleus ventralis in Betracht (die Bezeichnung ist zu dem lateralen Pol gesetzt). Der ventrale und dorsale Gitterkern Nissls tritt erst in frontaleren Ebenen auf.

Das Faserareal, welches mit Lm bezeichnet ist, stammt wenigstens größtenteils aus dem Rest der medialen Schleife (Sehhügelschleife). Aus diesem Areal und aus dem Feld  $H^1$  geht weiterhin die Lamina medullaris externa hervor.

135

<sup>1)</sup> Handbuch der Gewebelehre, p. 511.

<sup>2)</sup> L. c. Fig. 648.

<sup>3)</sup> Text. del sist. nervioso del hombre y de los vertebrados, p. 731, und Estudios talámicos, Trab. del Lab. de Invest. biol., 1903, T. II.

<sup>4)</sup> Die Bezeichnungen Zona incerta und Corpus Luysii werden noch sehr unbestimmt und nicht stets in demselben Sinne verwandt. Ich verweise in dieser Beziehung auf die jetzt erscheinende vergleichend-anatomische Arbeit von Dr. Sano aus meinem Laboratorium.

<sup>5)</sup> Bezüglich der Abgrenzung der Thalamuskerne verweise ich übrigens auf die soeben unter meiner Leitung entstandene entwicklungsgeschichtliche Arbeit von Dr. BIANCHI (Monatsschr. f. Psych. und Neurol., 1909, Supplementheft).

TH. ZIEHEN, 508 136

Sehr schwierig ist die Deutung des mit Tr2 bezeichneten Feldes. Hier finden sich nämlich außer durchstreichenden Fasern der hinteren Kommissur und des Vierhügelmarks auch ziemlich zahlreiche quergeschnittene Fasern. Bei anderen Säugern sind dieselben wiederholt als "Fasciculus commissurae posterioris" beschrieben worden. Wernicke hat sie bei dem Menschen bereits als "Haubenbündel der hinteren Kommissur" 1) beschrieben. Neuerdings ist es sehr wahrscheinlich geworden, daß es sich um eine von Wallen-BERG und HATSCHEK beschriebene sekundäre sensible Trigeminusbahn handelt.

Wie eingangs bereits erwähnt, hat die Härtung der Gehirne nicht gestattet, die Serie auch in den frontalen Hirnabschnitten in einer für die Reproduktion ausreichenden Weise herzustellen. Es kommt hinzu, daß Zuckerkandl in einer ausgezeichneten Arbeit bereits für einen anderen Edentaten (Dasypus) eine eingehende Beschreibung der frontalen Hirnteile und speziell der Riechstrahlung gegeben hat. Ich beschränke mich daher zum Schluß auf einige kurze Bemerkungen über das Chiasma opticum und den Fornix von Orycteropus und behalte mir vor, bei einer Darstellung des Manis- und Myrmecophaga-Gehirns an anderer Stelle auf diese Gebiete zurückzukommen.

#### 1. Chiasma opticum.

Das Chiasma opticum sendet auf Objekttr. CXXVI seine ersten (d. h. spinalsten) Bündel über die Mittellinie. Allerdings passieren schon einzeln zerstreute Fasern die Bodenplatte des Trichters in distaleren Ebenen. Die Deutung dieser Fasern bietet keine Schwierigkeit. In Betracht kommt die MEYNERTsche Kommissur, die sogenannte Decussatio hypothalamica anterior und die Commissura ansata posterior von OBERSTEINER<sup>2</sup>). Für die Meynertsche Kommissur sind die in Rede stehenden Fasern zu feinkalibrig. Die Fasern der Commissura ansata posterior verlaufen viel steiler. Es bleibt also nur die Deutung als Decussatio hypothalamica anterior<sup>3</sup>). Die seitlichen Verbindungen dieser Dekussation sind bekanntlich noch sehr strittig. Bei Orycteropus lassen sich ihre Fasern erst auf Objekttr. CXXXIV als geschlossenes Bündel seitlich verfolgen. Sie steigen wie bei den meisten Säugern in einem leicht S-förmig gekrümmten Bogen medial vom Querschnitt der Columna fornicis auf und wenden sich dorsal von letzterem lateralwärts, um hier in ein sehr charakteristisches, bisher wenig beachtetes Feld einzumünden. Das Verhalten weicht von demjenigen, wie wir es vom Menschen kennen, insofern ab, als bei letzterem die Fasern der Decussatio hypothalamica anterior größtenteils lateral von der Fornixsäule aufsteigen 4). Bei Oryeteropus nehmen nur in den frontalsten Ebenen einige Fasern diesen Verlauf, ganz vereinzelte Fasern durchbrechen auch den Fornixquerschnitt. Das oben erwähnte Feld, in welches die Fasern der Decussatio hypothalamica anterior schließlich münden, liegt dem abgerundeten medialen Ende des Fußes dorsal auf. Mit dem Feld H2 von

<sup>1)</sup> Lehrbuch der Gehirnkrankh., Bd I, z. B. Fig. 47.

<sup>2)</sup> Anl. b. Stud. des Baues der nerv. Zentralorg., 4. Aufl., 1901, p. 448 u. Fig. 193.

3) Die Nomenklatur dieser Kreuzung ist leider in die größte Verwirrung geraten. Am besten wird der Gansersche Name "Decussatio subthalamica anterior" (Morph. Jahrb., Bd. VII, p. 686) beibehalten. Nur entspricht es unserem Sprachgefühl

besser, wenn wir statt subthalamica "hypothalamica" sagen.
4) Vergl. z. B. Kölliker, Gewebelehre, Fig. 686. Uebrigens verlaufen auch bei dem Menschen viele Fasern medial, vergl. Marburg, Mikrosk. topogr. Atlas, Taf. 15, Querschnitt 23.

Forel ist es nicht identisch, kann aber als frontaler Rest desselben aufgefaßt werden. Es scheint sich zum Teil später in schräg dorsolateral aufsteigende Fasern der Zona incerta aufzulösen. Das Bündelchen x von Kölliker i) aus dem Feld  $H^2$  ist bei Orycteropus nicht, wie Kölliker angibt, bis zum Haubenbündel des Corpus mamillare zu verfolgen, vielmehr scheinen mir alle in Betracht kommenden Fasern im Sinne der soeben gegebenen Beschreibung in die Decussatio hypothalamica anterior zu gelangen.

Die Meynertsche Kommissur ist bei Orycteropus gut entwickelt. Ihre Verfolgung bietet bei Orycteropus dieselben Schwierigkeiten wie bei anderen Säugern. Ein Zusammenhang mit dem Globus pallidus ist mir bei Orycteropus nicht wahrscheinlich. Die meisten Fasern lassen sich zu einer grauen Masse verfolgen, welche zwischen Fuß und Tractus opticus liegt, und biegen dann in das Fußareal ein. Innerhalb des letzteren folgen sie meistens den grauen Maschen der Substantia reticulata pedis. Ihr definitiver Verbleib ist nicht zu ermitteln. Ich muß auch dahingestellt sein lassen, ob die Fasern der Meynertschen Kommissur symmetrisch homologe Teile verbinden, oder ob sie nach der andern Seite hin einen andern Verlaufsweg einschlagen. Die Ansicht Köllikers<sup>2</sup>), wonach die Meynertsche Kommissur mit dem Corpus Luysii in Verbindung steht, ist für Orycteropus wohl annehmbar. Eine Beziehung zur Schleife kommt bei Orycteropus schwerlich in Frage. Ein Zusammenhang mit den Nuclei tuberis — nach einer Verlaufsrichtung hin — scheint mir weder für die Commissura hypothalamica anterior noch für die Meynertsche Kommissur ausgeschlossen.

#### 2. Fornix.

Die Verfolgung der Columna fornicis in frontaler Richtung ergibt folgendes: Im Niveau des Chiasma opticum mißt ihr Querschnitt in transversaler Richtung fast I mm, in dorsoventraler fast 1,2 mm. Lateral ist ihr ein dichter Filz feiner Fasern angelagert. Auch feine zirkuläre Fasern umziehen den Querschnitt in ziemlich großer Zahl. Auf Objekttr. CLXXII überschreiten die ersten Fasern der Commissura anterior ventral (basal) von den Fornixsäulen die Medianebene. Der Abstand der Medialränder der beiden Fornixsäulen beträgt in diesem Niveau ca. 950 µ. Die Belegschicht grauer Substanz, welche die Fornixsäule vom Ventrikellumen trennt, ist stellenweise nur 90  $\mu$  dick. Die obere Kante des Fornixquerschnittes ist von der Ventralfläche des Psalteriums ca. 2 mm entfernt. Der Sulcus Monroi liegt hier schon ventral von dem Fornixquerschnitt. Lateral von letzterem steigt bereits die Stria terminalis, eingebettet in das Striagrau, in schräger Richtung ventromedialwärts. Auf den folgenden Schnitten gewinnt man sehr bestimmt den Eindruck, daß einzelne Fasern aus der vorderen Kommissur nach oben abbiegen und sich dem Fornixquerschnitt beigesellen. Auf Objekttr. CLXX ist der Kontakt des Fornixquerschnittes mit der Ventralfläche des Psalteriums hergestellt. In demselben Niveau biegt fast die ganze Masse der Stria terminalis medialwärts in die Commissura anterior ein. Ein "Kommissurenbündel" der Stria terminalis ist schon lange bekannt<sup>3</sup>), aber bei keinem anderen mir bekannten Säuger ist es relativ so stark wie bei Orycteropus. Nur bei genauester Durchsicht der Serie kann man sich überzeugen, daß außer diesen Kommissurenfasern auch andere Fasern in der Stria terminalis vorhanden sind, welche bis zum Grau der Hirnbasis (Basalkern?) gelangen. Die Stria medullaris (Habenula) ist auffällig lang transversal ausgedehnt. Ihr Verhalten zum Fornix und zur vorderen Kommissur scheint den Verhältnissen, wie ich sie bei Ornithorhynchus beschrieben

137

<sup>1)</sup> L. c. p. 455 u. 520.

<sup>2)</sup> Gewebelehre, p. 466, 562, 572.

<sup>3)</sup> Vergl. z. B. KÖLLIKER, Gewebelehre, p. 624 (Kaninchen) u. Fig. 711 (Maus) u. p. 629 (Mensch); vor KÖLLIKER hat schon HONEGER, Vergl.-anatomische Untersuchungen über den Fornix, Genf 1890, p. 421, das Kommissurenbündel bei zahlreichen Säugern und auch bei Eidechse, Blindschleiche und Frosch beobachtet.

510

habe, zu entsprechen, doch sind leider die für die Verfolgung der Habenula in dieser Gegend entscheidenden Schnitte etwas lädiert.

Sobald die Fornixsäulen mit dem Psalterium in Kontakt gekommen sind, tritt an der Grenze dieser beiden Gebilde eine graue Masse auf, die am besten als Nucleus corporis fornicis bezeichnet wird. Es hat den Anschein, daß sowohl die Fornixfasern wie die Psalteriumfasern zum Teil in diesem Grau sich zerstreuen bezw. in ihm entspringen. Andererseits unterliegt es auch keinem Zweifel, daß sehr zahlreiche Faserbündel der Fornixsäule ungekreuzt und ununterbrochen in das gleichseitige Psalterium übergehen. Etwas weiter oralwärts legt sich dann den Fornixsäulen jederseits ein grauer Wulst an, welcher bereits dem Grau des Septum pellucidum angehört. Dieses Grau hat mit dem Nucleus corporis fornicis nichts zu tun, nimmt aber ebenfalls Fornixfasern auf. — Schließlich erwähne ich, daß ohne Schwierigkeit auch bei Orycteropus perforierende Fornixfasern nachzuweisen sind.

# **ZOBODAT - www.zobodat.at**

Zoologisch-Botanische Datenbank/Zoological-Botanical Database

Digitale Literatur/Digital Literature

Zeitschrift/Journal: <u>Denkschriften der medicinisch-naturwissenschaftlichen</u> Gesellschaft zu Jena

Jahr/Year: 1909

Band/Volume: 15

Autor(en)/Author(s): Ziehen Th.

Artikel/Article: VIII. Zur Kenntnis des Faserverlaufs im Gehirn von

Orycteropus. 477-510